

บทที่ 4

ผลการทดสอบ และ อภิปรายผล

4.1 การศึกษาลักษณะเฉพาะของสารตั้งต้น

4.1.1 การศึกษาลักษณะเฉพาะของผงไฮดรอกซีแอนป้าไทด์

ผลการวิเคราะห์ลักษณะเฉพาะของผงไฮดรอกซีแอนป้าไทด์แสดงในตารางที่ 4.1

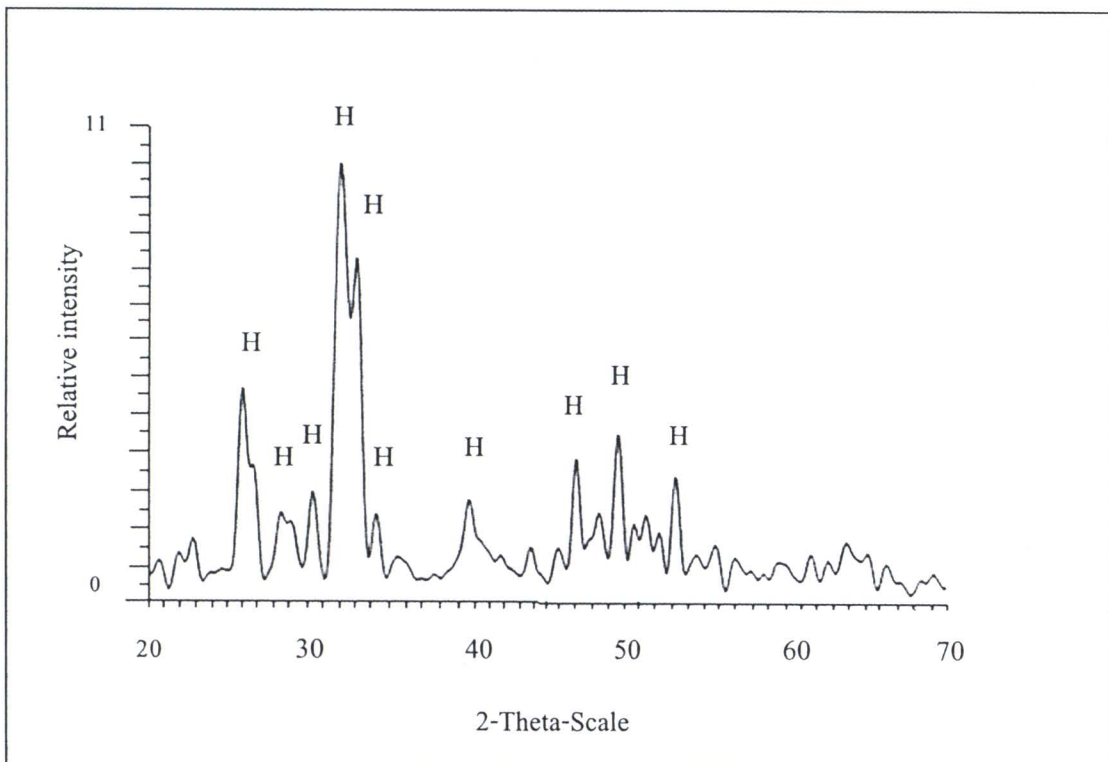
ตารางที่ 4.1 ลักษณะเฉพาะของผงไฮดรอกซีแอนป้าไทด์

ลักษณะเฉพาะ	ค่าที่วัดได้
ความถ่วงจำเพาะ	3.2
การกระจายขนาดอนุภาค (ไมโครอน)	
- ขนาดที่เล็กกว่า 0.71	ร้อยละ 10
- ขนาดที่เล็กกว่า 7.11	ร้อยละ 50
- ขนาดที่เล็กกว่า 29.72	ร้อยละ 90
องค์ประกอบบนทางเคมี (ร้อยละ โดยน้ำหนัก) *	
Ca ₃ (PO ₄) ₂	90.0
H ₂ O	5.0
SO ₄	0.2
Cl	0.05
Na	0.05
Fe	0.04
K	0.01
Cd	0.005
Co	0.005
Cu	0.005
Ni	0.005
Pb	0.005
Zn	0.005
อื่น ๆ	4.62
วัสดุ	Ca ₃ (PO ₄) ₂

หมายเหตุ: * ข้อมูลจาก บริษัท ฟลูเก็ท จำกัด

4.1.1.1 การวิเคราะห์ทางวัสดุภาพของผงไฮดรอกซีแอกป้าไทด์

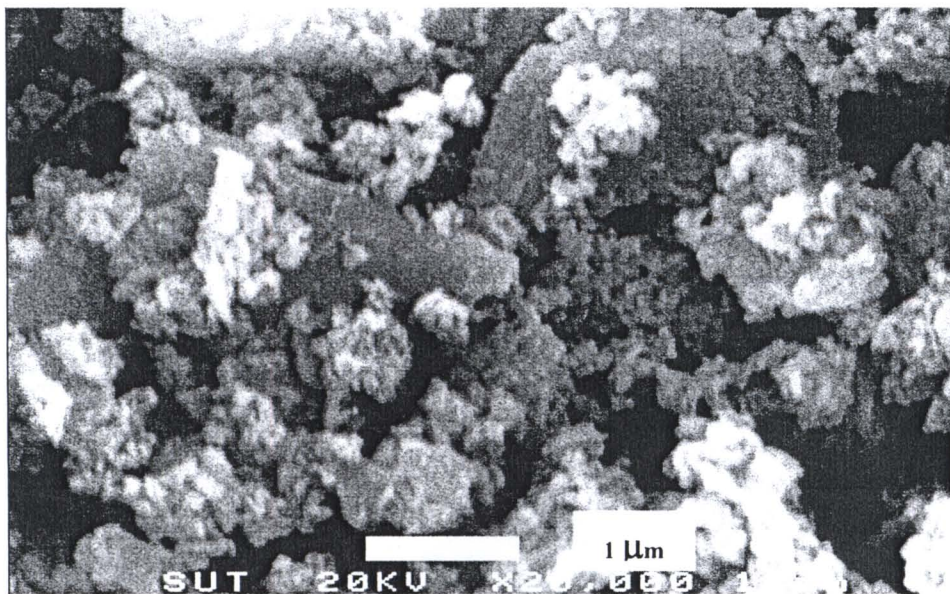
การวิเคราะห์วัสดุภาพ ด้วยเครื่องอีกซ์เรย์ดิฟแฟร์น็อกต์ (XRD) แพทเทิร์น (Peak) ที่แสดงในรูปที่ 4.1 พบว่า พิกที่มีความเข้ม (Intensity) สูงสุดอยู่ที่มุม 2θ เท่ากับ 31.80 องศา พิกที่มีความเข้มข้นรองลงมาอยู่ที่มุม 2θ เท่ากับ 33.0 และ 32.50 องศา ตามลำดับ มีวัสดุภาพอยู่ในรูปไฮดรอกซีแอกป้าไทด์ (HAp) (Card number 00-009-0432) เพียงวัสดุภาพเดียว



รูปที่ 4.1 XRD แพทเทิร์นของผงไฮดรอกซีแอกป้าไทด์โดย H แสดงวัสดุภาพ
ไฮดรอกซีแอกป้าไทด์

4.1.2.2 การวิเคราะห์ลักษณะรูปร่างของผงไฮดรอกซีแอกป้าไทด์

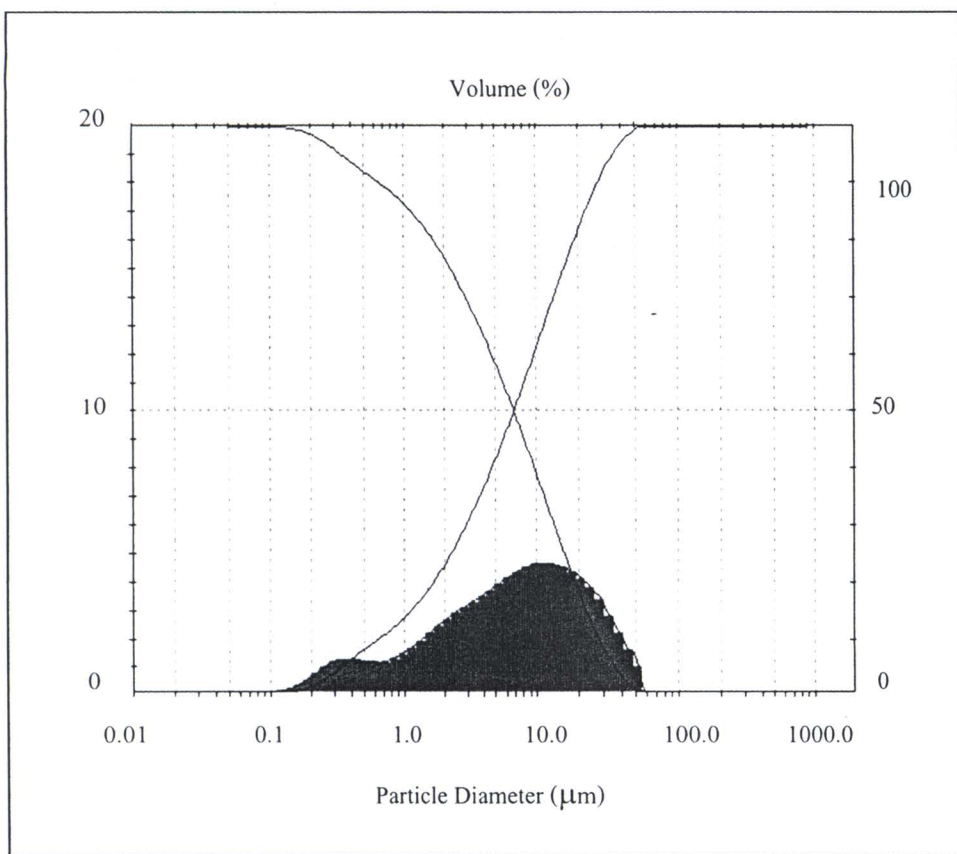
รูปในโทรศัพท์จากกล้องจุลทรรศน์อิเล็กตรอนแบบส่องกราด (Scanning Electron Microscopy, SEM) แสดงในรูปที่ 4.2 พบว่าผงไฮดรอกซีแอกป้าไทด์มีรูปร่างไม่สม่ำเสมอ (Irregular shape) มีอนุภาคขนาดใหญ่ปะปนอยู่กับอนุภาคขนาดเล็ก มีขนาดอนุภาคค่อนข้างละเอียด อยู่ในช่วงประมาณ 0.1 ถึง 0.5 ไมครอน



รูปที่ 4.2 รูปไมโครกราฟของผงไฮดรอกซีแอป้าไทด์จากกล้องจุลทรรศน์อิเล็กตรอนแบบส่องgrad

4.1.1.3 การวิเคราะห์การกระจายขนาดของผงไฮดรอกซีแอป้าไทด์

รูปแบบการกระจายขนาดอนุภาคของไฮดรอกซีแอป้าไทด์จากการศึกษาด้วยเครื่องมือวัดขนาดอนุภาค โดยอาศัยการกระเจิงและเลี้ยวเบนของลำแสงเลเซอร์แสดงในรูปที่ 4.3 พบว่าขนาดเส้นผ่านศูนย์กลางเฉลี่ยที่ปริมาณสะสมอยู่ละ 50 มีค่าเท่ากับ 7.11 ไมครอน



รูปที่ 4.3 แสดงการกระจายขนาดอนุภาคของไฮดรอกซีแอกไซด์

4.1.2 การศึกษาลักษณะเฉพาะของผงอะลูมินา

ผลการวิเคราะห์ลักษณะเฉพาะของผงอะลูมินา แสดงในตารางที่ 4.2

ตารางที่ 4.2 ลักษณะเฉพาะของผงอะลูมินา

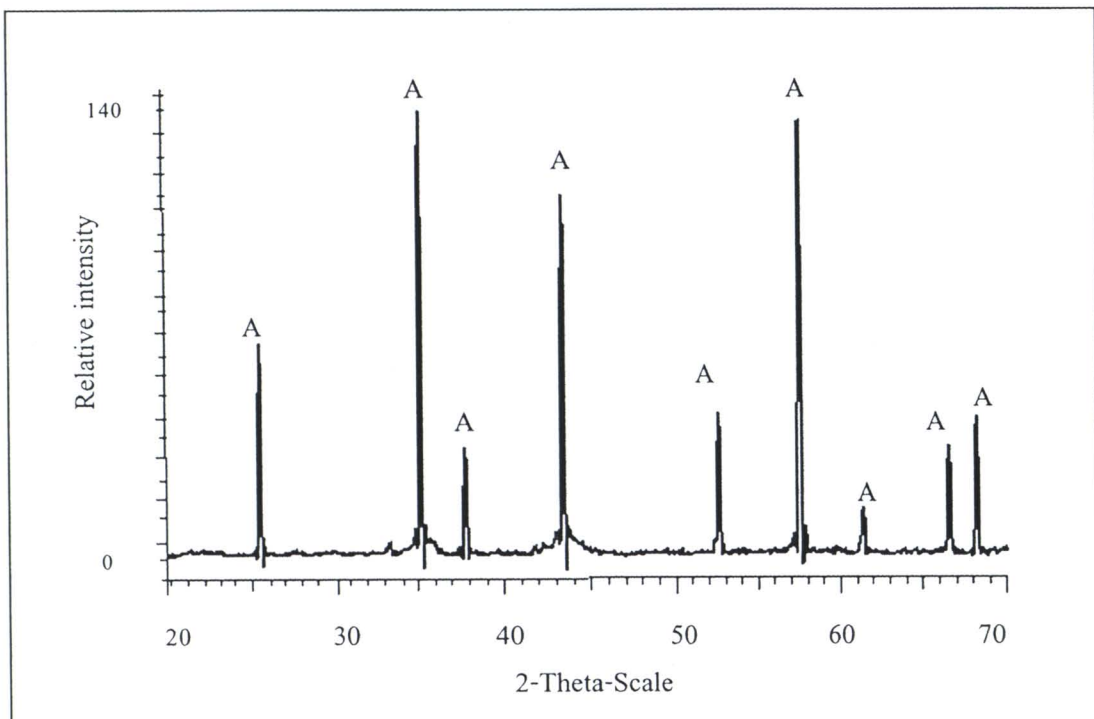
ลักษณะเฉพาะ	ค่าที่วัดได้
ความถ่วงจำเพาะ	3.69
การกระจายขนาดอนุภาค (ไมครอน)	
- ขนาดที่เล็กกว่า 0.39	ร้อยละ 10
- ขนาดที่เล็กกว่า 5.45	ร้อยละ 50
- ขนาดที่เล็กกว่า 13.30	ร้อยละ 90
องค์ประกอบทางเคมี (ร้อยละ โดยน้ำหนัก) *	
Al ₂ O ₃	95.0
Na ₂ O	0.3
SiO ₂	0.2
CaO	0.1
Fe ₂ O ₃	0.02
อื่นๆ	4.38
วัสดุ	α-Al ₂ O ₃

หมายเหตุ: * Suzhou Dexin Advanced Ceramics Co., Ltd.

จากการศึกษาอะลูมินาที่มีความบริสุทธิ์สูง (ร้อยละ 99.5 โดยน้ำหนัก) จะมีสมบัติเชิงกลสูงด้วย แต่การวิจัยครั้งนี้ใช้อะลูมินาที่มีความบริสุทธิ์ร้อยละ 95 โดยน้ำหนัก เนื่องจากเป็นวัตถุดินที่มีอยู่แล้วและลดต้นทุนในการผลิต

4.1.2.1 การวิเคราะห์ทางวัสดุภาคของผงอะลูมีนา

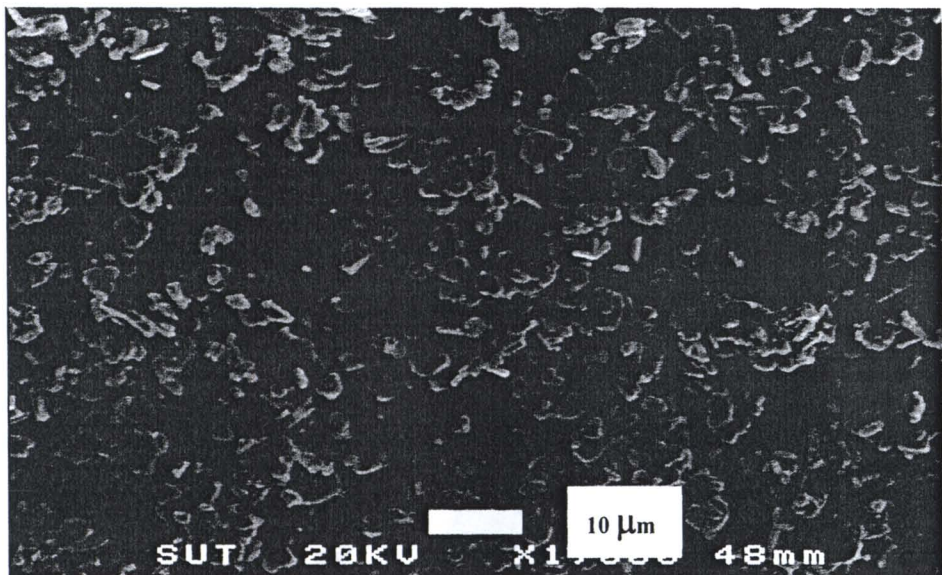
การวิเคราะห์วัสดุภาค ด้วยเครื่องเอ็กซ์เรย์ดิฟแฟร์กโตรนิเตอร์ (XRD) ภาพเทิร์น (Peak) ที่แสดงในรูปที่ 4.4 พบว่า พิกที่มีความเข้ม (Intensity) สูงสุดอยู่ที่มุม 2θ เท่ากับ 35.13 องศา พิกที่มีความเข้มข้นรองลงมาอยู่ที่มุม 2θ เท่ากับ 57.51 และ 43.36 องศา ตามลำดับ มีวัสดุภาคอยู่ในรูปแอลฟा- อะลูมีนา (α - Al_2O_3) (Card number 00-010-0173) เพียงวัสดุภาคเดียว



รูปที่ 4.4 XRD ภาพเทิร์นของผงอะลูมีนา โดย A แสดงวัสดุภาคแอลฟ่า- อะลูมีนา

4.1.2.1 การวิเคราะห์ลักษณะรูปร่างของผงอะลูมินา

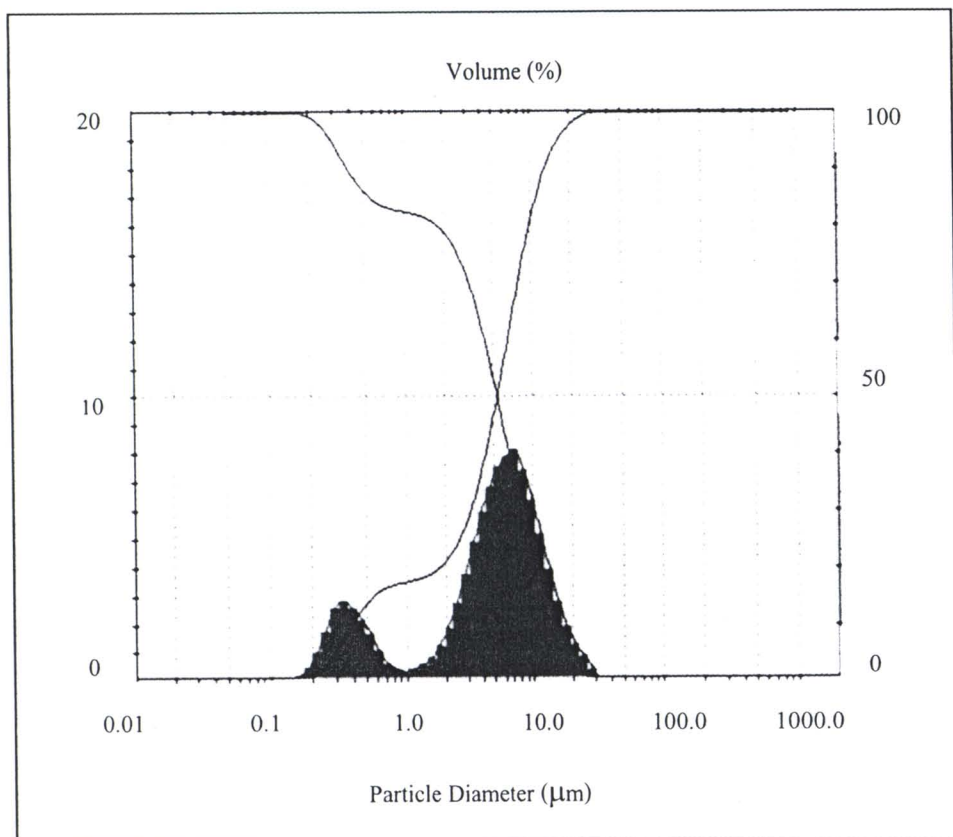
รูปที่ 4.5 รูปไมโครกราฟจากกล้องจุลทรรศน์อิเล็กตรอนแบบส่องกราด (Scanning Electron Microscopy, SEM) แสดงในรูปที่ 4.5 พบว่าผงอะลูมินามีรูปร่างไม่สม่ำเสมอ (Irregular shape) มีอนุภาคขนาดใหญ่ปะปนอยู่กับอนุภาคขนาดเล็ก มีขนาดอนุภาคอยู่ในช่วงประมาณ 1 ถึง 10 ไมครอน



รูปที่ 4.5 รูปไมโครกราฟของผงอะลูมินาจากกล้องจุลทรรศน์อิเล็กตรอนแบบส่องกราด

4.1.2.3 การวิเคราะห์การกระจายขนาดของผงอะลูมินา

รูปแบบการกระจายขนาดอนุภาคของอะลูมินา จากการศึกษาด้วยเครื่องมือวัดขนาดอนุภาค โดยอาศัยการกระเจิงและเลี้ยวเบนของลำแสงเลเซอร์แสดงในรูปที่ 4.6 พบว่าขนาดเส้นผ่านศูนย์กลางเฉลี่ยที่ปริมาณสะสมอยู่ละ 50 มีค่าเท่ากับ $5.45 \text{ } \mu\text{m}$



รูปที่ 4.6 การกระจายขนาดอนุภาคของอะลูมินา

4.1.3 การศึกษาลักษณะเฉพาะของผงเซอร์โคเนียม

ผลการวิเคราะห์ลักษณะเฉพาะของผงเซอร์โคเนียม แสดงในตารางที่ 4.3

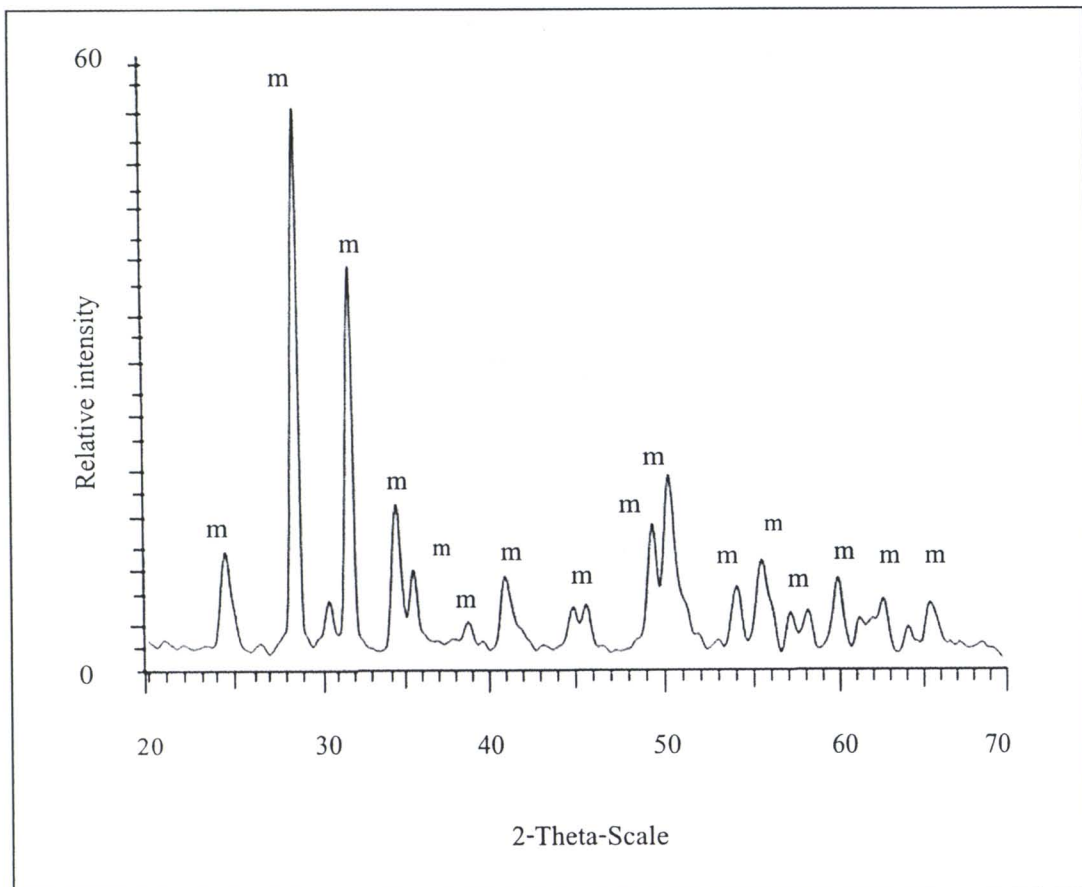
ตารางที่ 4.3 ลักษณะเฉพาะของผงเซอร์โคเนียม

ลักษณะเฉพาะ	ค่าที่วัดได้
ความถ่วงจำเพาะ	5.68
การกระจายขนาดอนุภาค (ไมโครอน)	
- ขนาดที่เล็กกว่า 0.48	ร้อยละ 10
- ขนาดที่เล็กกว่า 13.67	ร้อยละ 50
- ขนาดที่เล็กกว่า 21.50	ร้อยละ 90
องค์ประกอบทางเคมี (ร้อยละ โดยน้ำหนัก)*	
ZrO ₂	99
Fe	0.03
Ti	0.1
SiO ₂	0.3
SO ₄	0.2
อื่น ๆ	0.37
วัสดุ	m-ZrO ₂

หมายเหตุ: * ข้อมูลจาก บริษัท รีเดอร์ เดอ ชัฟ จำกัด

4.1.3.1 การวิเคราะห์ทางวัสดุภาพของผงเซอร์โคเนียม

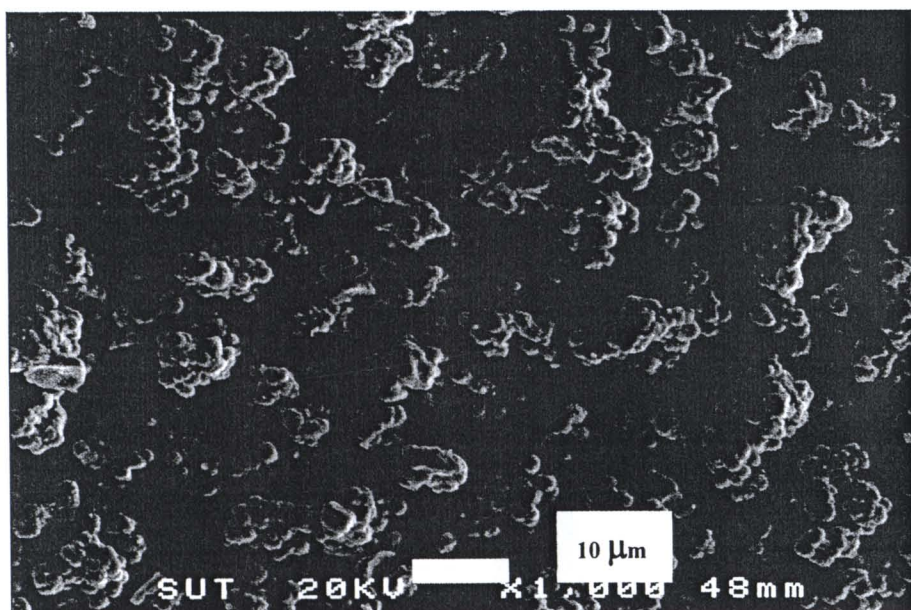
การวิเคราะห์วัสดุภาพ ด้วยเครื่องอิเล็กซ์เรย์ดิฟเฟรคโทรมิเตอร์ (XRD) แพทเทิร์น (Peak) ที่แสดงในรูปที่ 4.7 พบว่า พิกที่มีความเข้ม (Intensity) สูงสุดอยู่ที่มุม 2θ เท่ากับ 28.17 องศา พิกที่มีความเข้มข้นรองลงมาอยู่ที่มุม 2θ เท่ากับ 31.46 และ 50.11 องศา ตามลำดับ มีวัสดุภาพอยู่ในรูปโนนคลินิก-เซอร์โคเรนี่ (m-ZrO₂) (Card number 00-037-1484) เพียงวัสดุเดียว



รูปที่ 4.7 XRD แพทเทิร์นของผงเซอร์โคเนียม โดย m แสดงวัสดุภาพ
โนนคลินิก-เซอร์โคเรนี่ (m-ZrO₂)

4.1.3.2 การวิเคราะห์ลักษณะรูปร่างของผงเชอร์โคเนีย

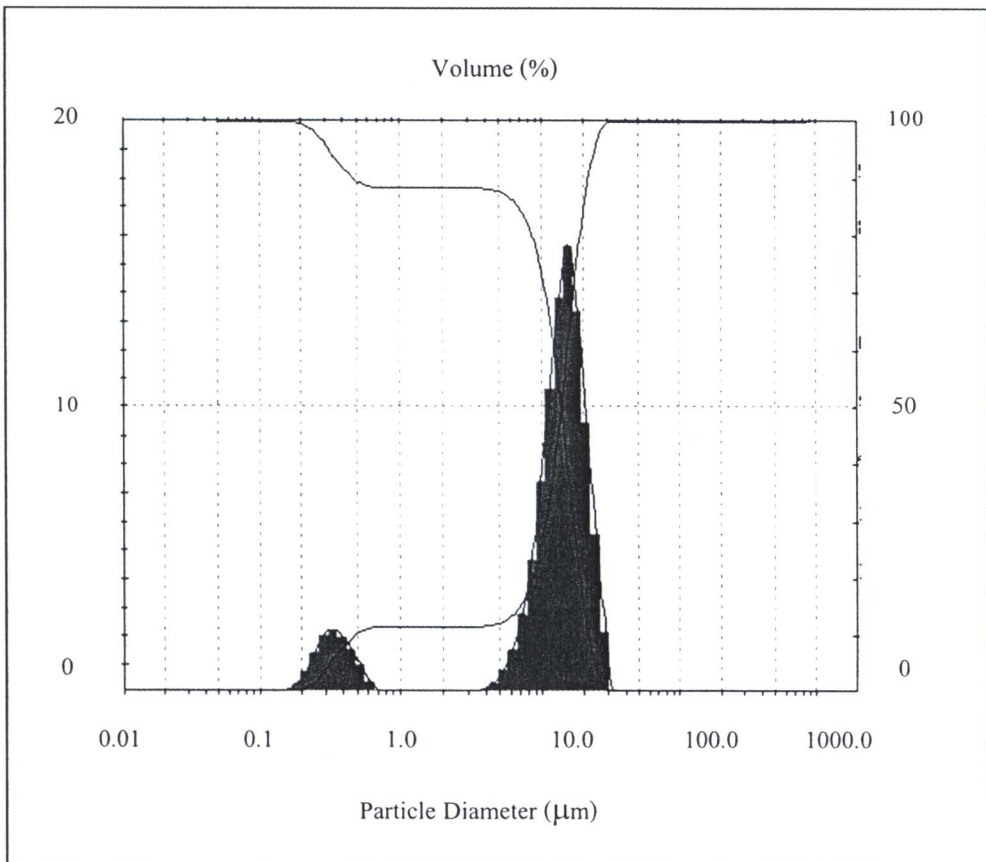
รูปปี่ไมโครกราฟจากกล้องจุลทรรศน์อิเล็กตรอนแบบส่องกราด (Scanning Electron Microscopy, SEM) แสดงในรูปที่ 4.8 พบว่าผงเชอร์โคเนียมีรูปร่างไม่สม่ำเสมอ (Irregular shape) มีการกระจายตัวที่แคนและจับตัวกันเป็นก้อน มีขนาดอนุภาคค่อนข้างใหญ่อยู่ในช่วงประมาณ 1 ถึง 20 ไมครอน



รูปที่ 4.8 รูปปี่ไมโครกราฟของผงเชอร์โคเนียจากกล้องจุลทรรศน์อิเล็กตรอนแบบส่องกราด

4.1.3.3 การวิเคราะห์การกระจายขนาดของผงเชอร์โโคเนีย

รูปแบบการกระจายขนาดอนุภาคของเชอร์โโคเนีย จากการศึกษาด้วยเครื่องมือวัดขนาดอนุภาค โดยอาศัยการกระเจิงและเลี้ยวเบนของลำแสงเลเซอร์แสดงใน รูปที่ 4.9 พบร่วางขนาดสัมผ่านศูนย์กลางเคลื่อนที่ประมาณสะส่วนร้อยละ 50 มีค่าเท่ากับ 13.67 ไมครอน

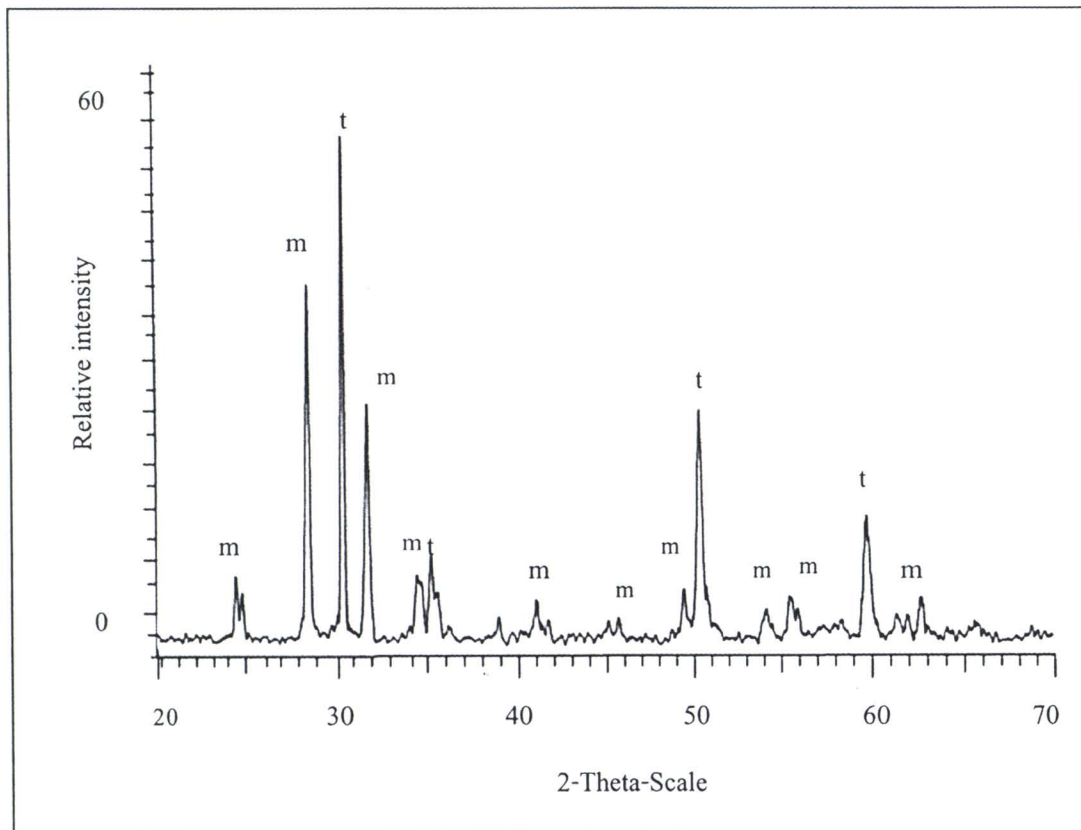


รูปที่ 4.9 แสดงการกระจายขนาดอนุภาคของเชอร์โโคเนีย

4.1.4 การศึกษาลักษณะเฉพาะของผงเซอร์โคเนียที่ผ่านการทำให้เสื่อมโดยใช้ 4% โมล อิธเทียมออกไซด์ (4Y)

4.1.4.1 การวิเคราะห์ทางวัสดุภาพของผงเซอร์โคเนียที่ผ่านการทำให้เสื่อมโดยใช้ 4% โมล อิธเทียมออกไซด์ (4Y)

การวิเคราะห์วัสดุภาพ ด้วยเครื่องเอ็กซ์เรย์ดิฟแฟรคโตรมิเตอร์ (XRD) แพทเทิร์น (Peak) ที่แสดงในรูปที่ 4.10 พบว่า มีพิกของเตตราะgonอลเซอร์โคเนียเกิดขึ้น ซึ่งพิกเตตราะgonอลเซอร์โคเนียที่มีความเข้ม (Intensity) สูงสุดอยู่ที่มุม 2θ เท่ากับ 30.14 องศา พิกที่มีความเข้มข้นรองลงมาอยู่ที่มุม 2θ เท่ากับ 50.23 และ 59.76 องศา ตามลำดับ (Card number 01-070-4430)



รูปที่ 4.10 XRD แพทเทิร์นของผง 4Yเซอร์โคเนีย โดย m แสดงวัสดุไมโนคลินิก ($m\text{-ZrO}_2$) และ t แสดงวัสดุเตตราะgonอล ($t\text{-ZrO}_2$)

4.2 ผลของปริมาณสารเติมแต่งต่อลักษณะเฉพาะและสมบัติเชิงกลของวัสดุ เชิง
ประกอบไฮดรอกซีแอลปาไท์-อะลูมินา/เซอร์โคเนียม หลังผ่านการเผาผนึกที่
อุณหภูมิแตกต่างกันเป็นเวลา 120 นาที

4.2.1 ผลของปริมาณสารเติมแต่งต่อความหนาแน่น

ความสัมพันธ์ระหว่างปริมาณสารเติมแต่งต่อความหนาแน่นของแต่ละตัวอย่างแสดง
ไว้ในตารางที่ 4.4

ตารางที่ 4.4 แสดงค่าความหนาแน่นของวัสดุเชิงประกอบแต่ละตัวอย่าง

อุณหภูมิ (องศาเซลเซียส)	รหัสตัวอย่าง	ความหนาแน่น ³ (กรัม/เซนติเมตร ³)
1300	H	2.96
	H30A15Z	2.32
	H25A20Z	2.99
	H20A25Z	2.40
1400	H	2.86
	H30A15Z	2.42
	H25A20Z	2.43
	H20A25Z	2.57
1500	H	2.68
	H30A15Z	3.11
	H25A20Z	3.41
	H20A25Z	3.24

หมายเหตุ: ตัวอย่าง H มีส่วนผสมของ ไฮดรอกซีแอลปาไท์ร้อยละ 100 โดยปริมาตร

H30A15Z มีส่วนผสมของ ไฮดรอกซีแอลปาไท์+อะลูมินา+เซอร์โคเนียมร้อยละ 55+30+15

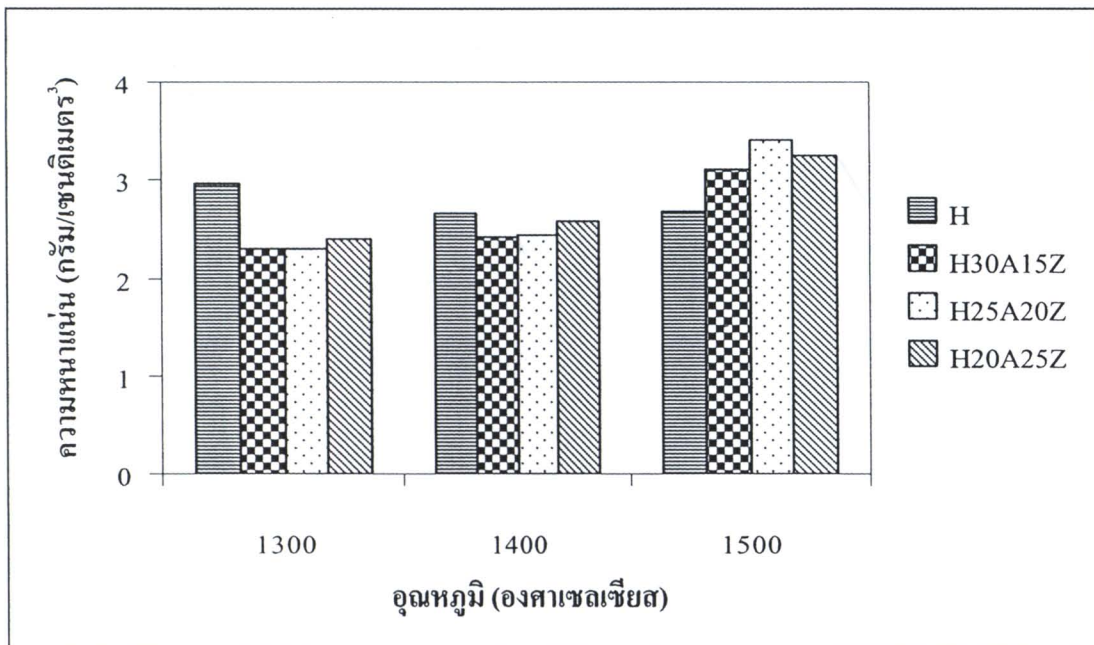
โดยปริมาตร ตามลำดับ

H25A20Z มีส่วนผสมของ ไฮดรอกซีแอลปาไท์+อะลูมินา+เซอร์โคเนียมร้อยละ 55+25+20

โดยปริมาตร ตามลำดับ

H20A25Z มีส่วนผสมของ ไฮดรอกซีแอลปาไท์+อะลูมินา+เซอร์โคเนียมร้อยละ 55+20+25

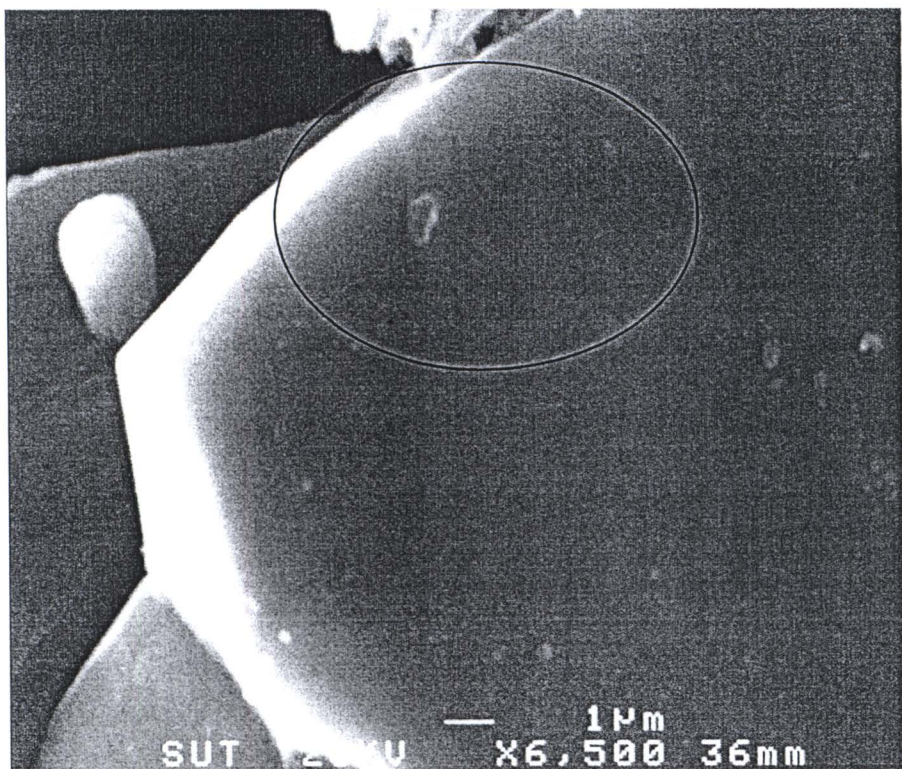
โดยปริมาตร ตามลำดับ



รูปที่ 4.11 ค่าความหนาแน่นของวัสดุเชิงประดิษฐ์ที่ผ่านการเผาพื้นที่อุณหภูมิต่าง ๆ

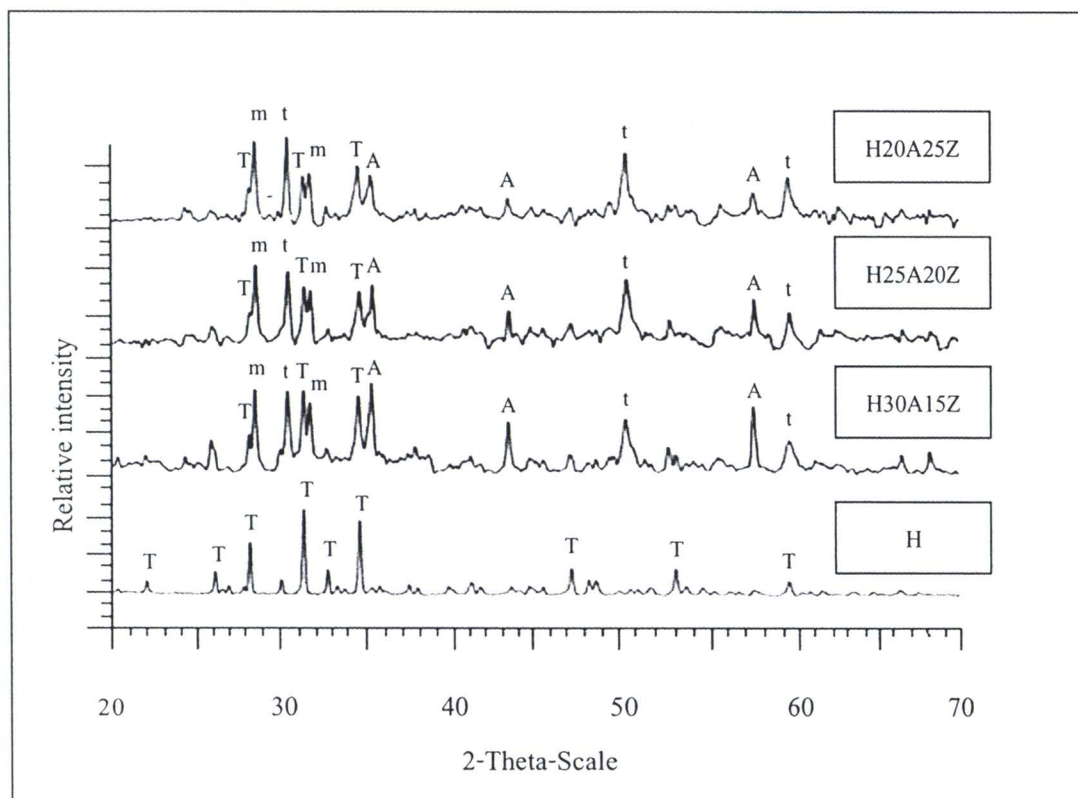
เมื่อเปรียบเทียบค่าความหนาแน่นของแต่ละตัวอย่าง พบว่าเมื่ออุณหภูมิการเผาพื้นที่สูงขึ้นจะทำให้ความหนาแน่นของไ乂ครอกซีแอป้าไไทต์ลดลง เนื่องจากการเผาพื้นที่ในอุณหภูมิที่สูงขึ้นจะทำให้ไ乂ครอกซีแอป้าไไทต์สูญตัวมากเกินไป มีผลให้เกิด Thermal stress ขึ้นภายในชิ้นงาน เนื่องมาจากเกรนจะเกิดการขยายตื้ออย่างมาก ทำให้เกิดการดันกันระหว่างเกรนมากขึ้น ส่งผลทำให้เกิดรอยร้าวขึ้นภายในชิ้นงาน ซึ่งแสดงในรูปที่ 4.21 ดังนั้นจึงทำให้ค่าความหนาแน่นของไ乂ครอกซีแอป้าไไทต์ซึ่งมีค่าลดลง อย่างไรก็ตามการเติมเซอร์โคเนียมเจลในไ乂ครอกซีแอป้าไไทต์-อะลูมินาในปริมาณที่แตกต่างกัน พบว่าความหนาแน่นจะไม่แตกต่างกันมากนัก แต่การเผาพื้นที่อุณหภูมิสูงขึ้นจะทำให้ความหนาแน่นของวัสดุเชิงประดิษฐ์สูงขึ้น เนื่องจากชิ้นตัวอย่างมีการสูญตัวมากขึ้น เกิดการเขื่อมต่องรูปของเกรนมากขึ้น

คงจะ SCM von HA microcracks. ✓

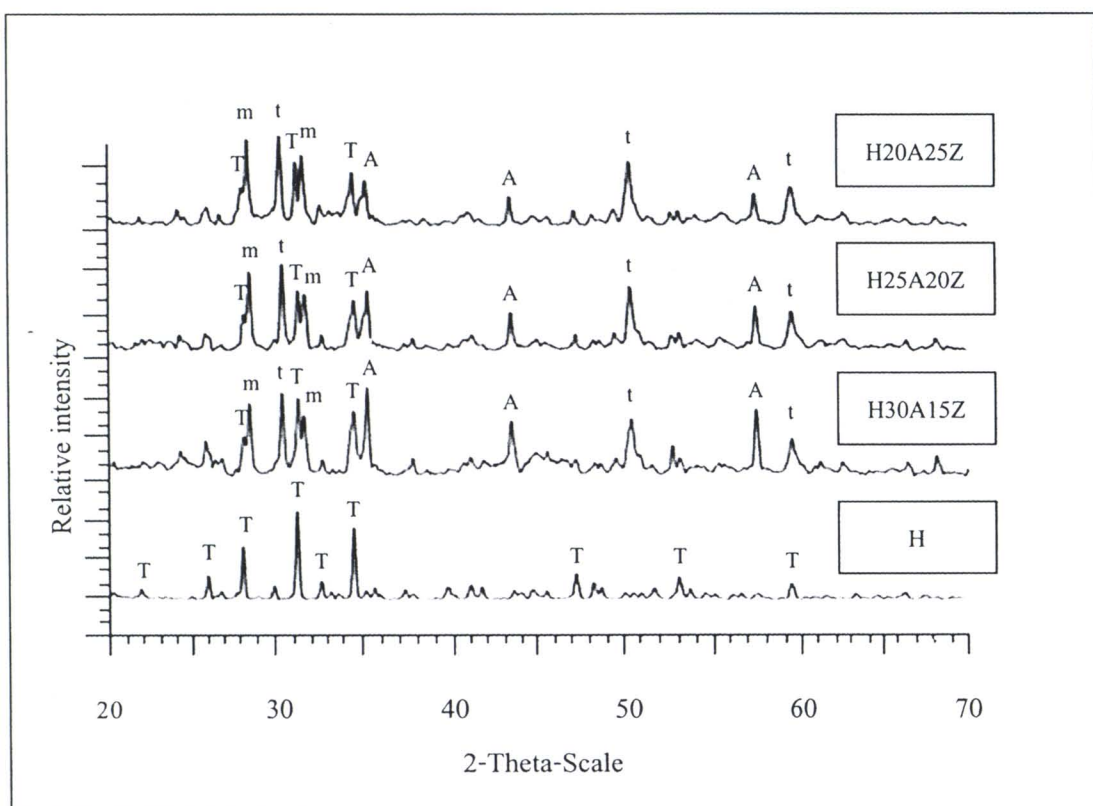


รูปที่ 4.12 ภาพโศกงสร้างจุดภาคแสดงรอยร้าวที่เกิดขึ้นในไฮดรอกซีแอนไทด์ที่ผ่านการเผาเผาที่อุณหภูมิ 1500°C

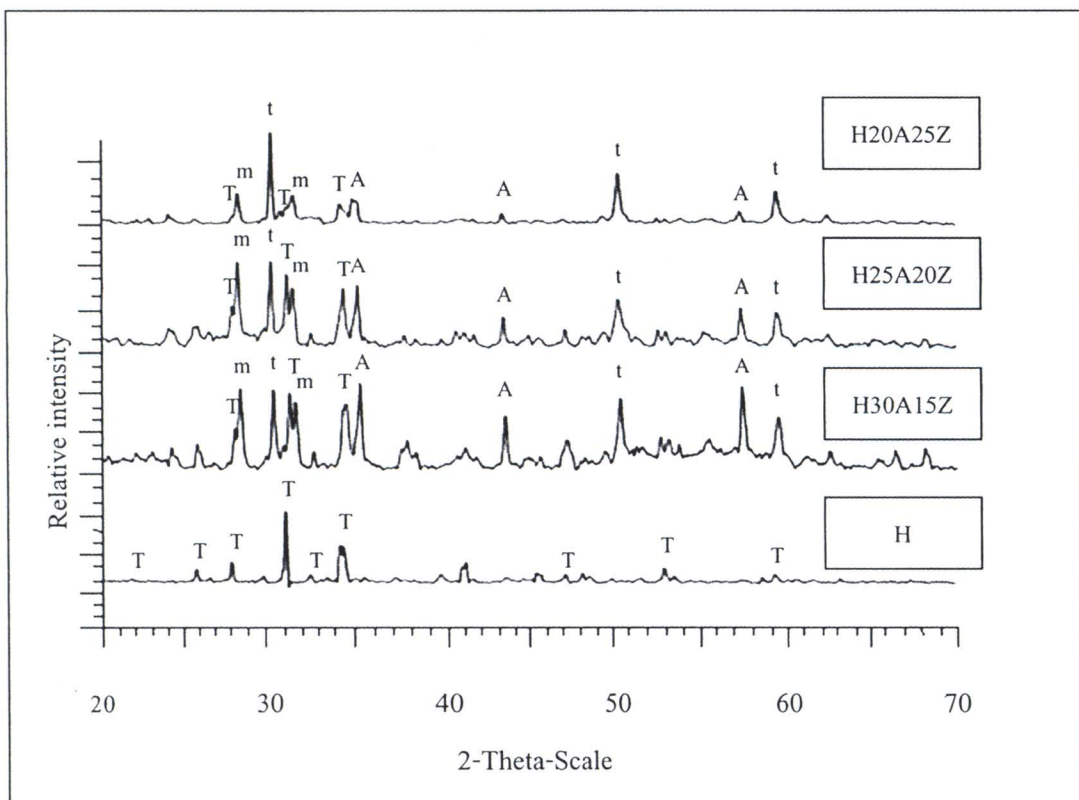
4.2.2 ผลของปริมาณสารเติมแต่งต่อการเปลี่ยนแปลงวัสดุภาค



รูปที่ 4.13 XRD แพทเทิร์น ของตัวอย่างที่ส่วนผสมต่าง ๆ ผ่านการเผาผนิกที่อุณหภูมิ 1300°C โดย A T m และ t เป็นสัญลักษณ์แทนวัสดุภาคของอลูминา ไตรแคลเซียมฟอสเฟต m-ZrO_2 และ t-ZrO_2 ตามลำดับ



รูปที่ 4.14 XRD แพทเทิร์น ของตัวอย่างที่ส่วนผสมต่าง ๆ ผ่านการเผาเผนกที่อุณหภูมิ 1400°C โดย A T m และ t เป็นสัญลักษณ์แทนวัสดุภาคของอะลูมินาไตรแคลเซียมฟอสเฟต m-ZrO_2 และ t-ZrO_2 ตามลำดับ



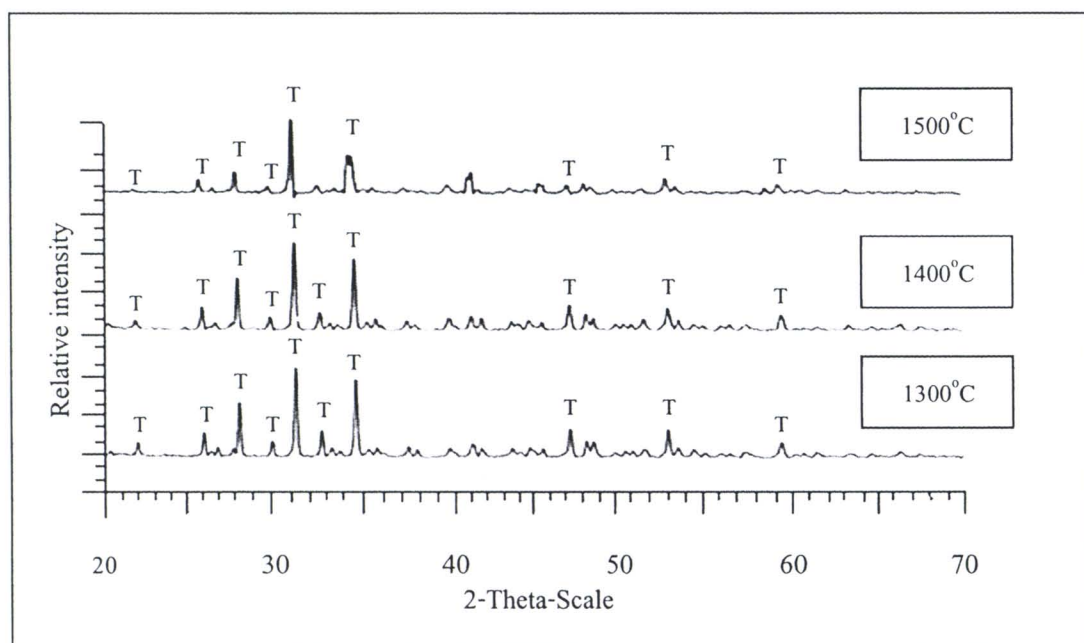
รูปที่ 4.15 XRD แพทเทิร์น ของตัวอย่างที่ส่วนผสมต่าง ๆ ผ่านการเผาผ่านกีกที่อุณหภูมิ 1500°C โดย A T m และ t เป็นสัญลักษณ์แทนวัสดุภาคของอะลูминิไน ไตรแคลเซียมฟอสเฟต $m\text{-}\text{ZrO}_2$ และ $t\text{-}\text{ZrO}_2$ ตามลำดับ

รูปที่ 4.13-4.15 แสดงผลการวิเคราะห์ทางวัสดุภาคด้วยเครื่อง XRD ของแต่ละ ตัวอย่างหลังผ่านการเผาผ่านกีกที่อุณหภูมิเดียวกันพบว่า ไครอคซีแอป้าไทต์ร้อยละ 100 โดยปริมาตร จะเกิดการแตกตัวเปลี่ยนรูปไปเป็นไตรแคลเซียมฟอสเฟตทั้งหมดดังสมการที่ 4.1 (Z.E. Erkmen et al., 2007) ซึ่งการแตกตัวของไครอคซีแอป้าไทต์นี้จะเริ่มเกิดในช่วงอุณหภูมิ 1150-1300 °C (A.Rapacz-Kmita et al., 2004)

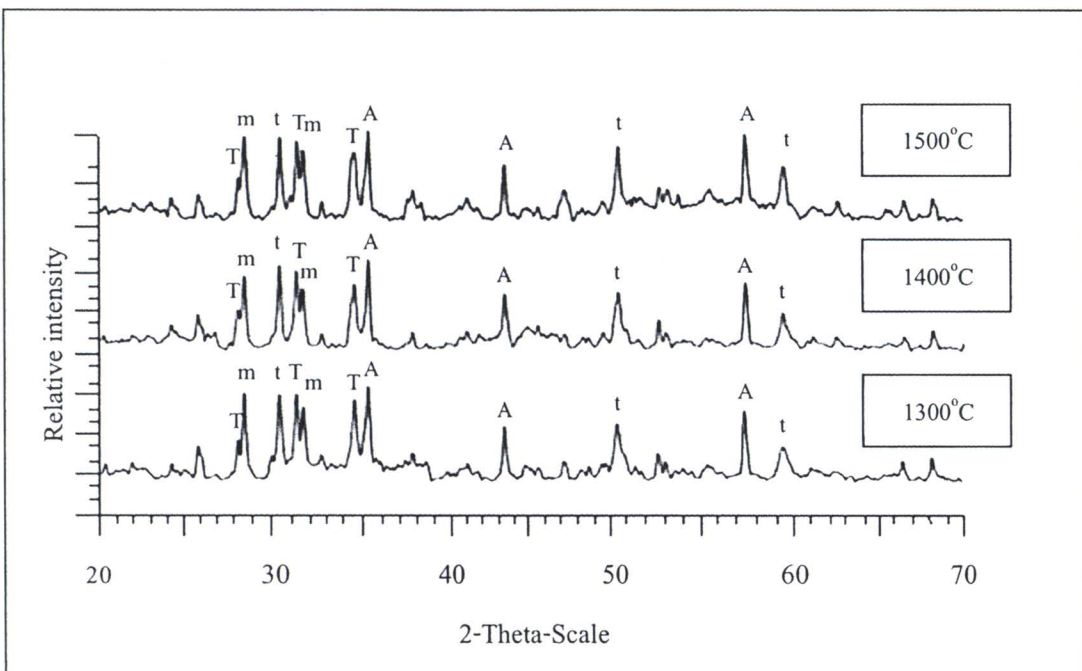


และเมื่อเติมอะลูминิไนปริมาณร้อยละ 20 25 และ 30 โดยปริมาตรเข้าไปใน ตัวอย่างก็จะปรากฏวัสดุภาคของอัลฟาระบอะลูминินา (Card number 00-010-0173) ซึ่งจะมีปริมาณพีค เพิ่มขึ้นตามปริมาณของอะลูминินาที่เติมเข้าไป และเมื่อเติม 4Yเซอร์โคเนียม ในปริมาณร้อยละ 15

20 และ 25 โดยปริมาตร เข้าไปในตัวอย่างจะประกอบวัสดุภาคของ $m\text{-ZrO}_2$ (Card number 00-037-1484) และ $t\text{-ZrO}_2$ (Card number 01-070-4430) ซึ่งวัสดุภาคเหล่านี้จะมีปริมาณพีกเพิ่มขึ้นตามปริมาณของ 4Y เชอร์โโคเนียที่เติมเข้าไป และจะไม่ประกอบพีกอื่น ๆ เข้ามาเจือปน และเมื่อพิจารณาตัวอย่างที่มีปริมาณของอะลูมินาที่เติมเข้าไปในปริมาณร้อยละ 20 25 และ 30 โดยปริมาตรและ 4Y เชอร์โโคเนียในปริมาณร้อยละ 15 20 และ 25 โดยปริมาตรหลังผ่านการเผาผนังที่อุณหภูมิที่แตกต่างกันดังรูปที่ 4.16-4.19 พนว่าไม่ประกอบพีกอื่น ๆ เข้ามาเจือปนเช่นเดียวกัน

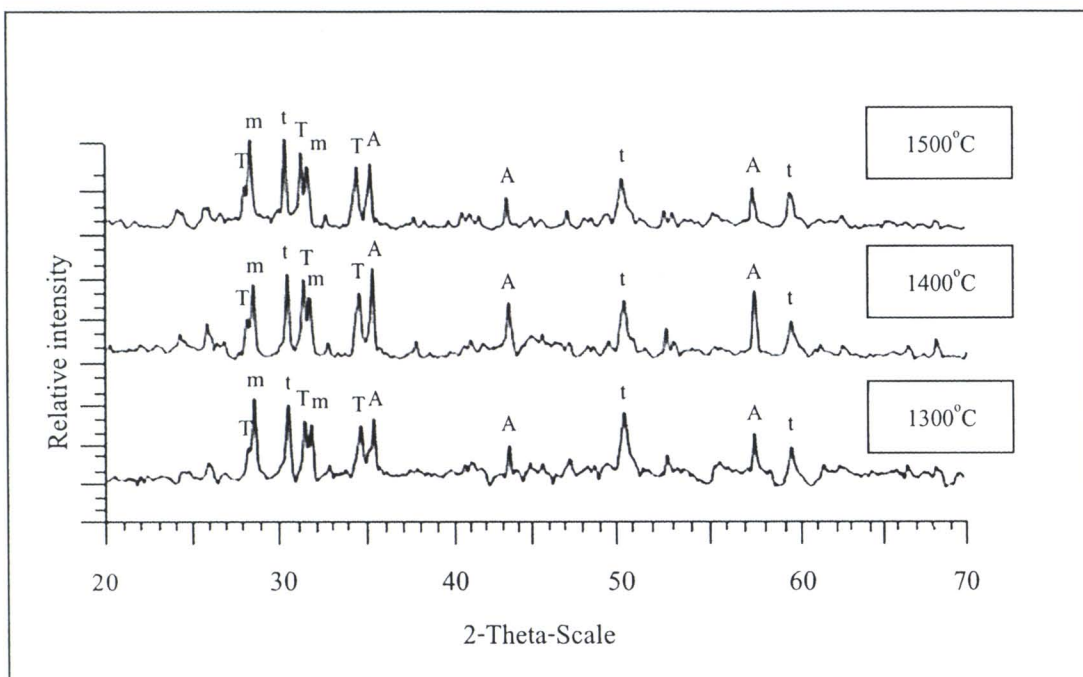


รูปที่ 4.16 แพทเทิร์น ของชิ้นงานชิ้งประกอบด้วย 4Y เชอร์โโคเนียร้อยละ 0 โดยปริมาตรหลังผ่านการเผาผนังที่อุณหภูมิที่แตกต่างกัน โดย $A\text{-Tm}$ และ t เป็นสัญลักษณ์แทนวัสดุภาคของอะลูมินา ไตรแคลเซียมฟอสเฟต $m\text{-ZrO}_2$ และ $t\text{-ZrO}_2$ ตามลำดับ

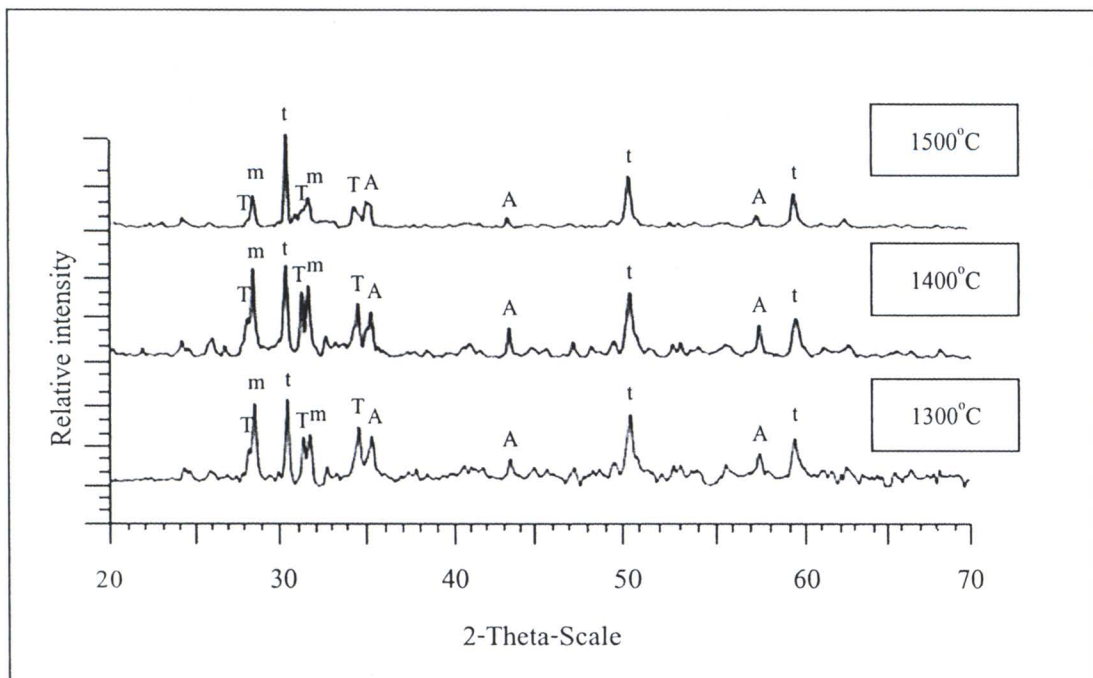


รูปที่ 4.17 XRD แพทเทิร์น ของชิ้นงานชั่งประกอบด้วย 4Yเซอร์โคเนียร์อยล์ 15 โดยปริมาตร
หลังผ่านการเผาเผนกที่อุณหภูมิที่แตกต่างกัน โดย A T m และ t
เป็นสัญลักษณ์แทนวัสดุภาคของอะลูมีนา ไตรแคลเซียมฟอสเฟต
 m-ZrO_2 และ t-ZrO_2 ตามลำดับ





รูปที่ 4.18 XRD แพทเทิร์น ของชิ้นงานซึ่งประกอบด้วย 4Yเซอร์โคเนียร์อยละ 20 โดยปริมาตร
หลังผ่านการเผาพิเศษที่อุณหภูมิที่แตกต่างกัน โดย A T m และ t
เป็นสัญลักษณ์แทนวัสดุภาคของอะลูมินา ไครแคลเซียมฟอสเฟต
 $m\text{-ZrO}_2$ และ $t\text{-ZrO}_2$ ตามลำดับ

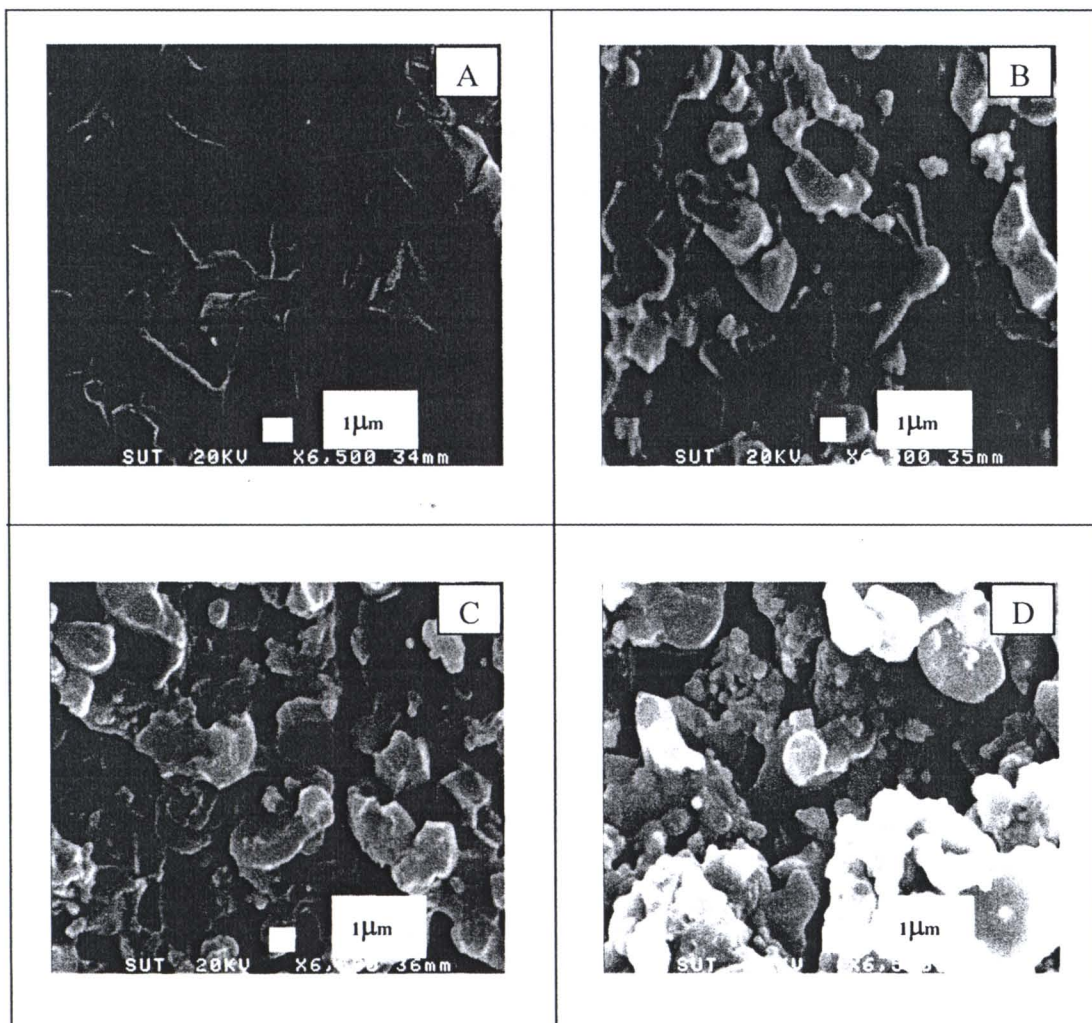


รูปที่ 4.19 XRD แพทเทิร์น ของชิ้นงานซึ่งประกอบด้วย 4Yเซอร์โคเนียร์อยละ 25 โดยปริมาตร
หลังผ่านการเผาเผาที่อุณหภูมิที่แตกต่างกัน โดย A Tm และ t
เป็นสัญลักษณ์แทนวัสดุภาคของอะลูมินา ไตรแคลเซียมฟอสเฟต
 $m\text{-ZrO}_2$ และ $t\text{-ZrO}_2$ ตามลำดับ

4.2.3 ผลของปริมาณสารเติมแต่งต่อโครงสร้างจุลภาค

4.2.3.1 ผลของปริมาณสารเติมแต่งต่อโครงสร้างจุลภาคของวัสดุชีวภาพเชิงประกอบที่ผ่านการเผาณีกที่อุณหภูมิ 1300°C

ตัวอย่าง A มีปริมาณไฮดรอกซีแอกป้าไทร์ร้อยละ 100 โดยปริมาตร ตัวอย่าง B มีปริมาณไฮดรอกซีแอกป้าไทร์ร้อยละ 55 โดยปริมาตร อะลูมินาร์ร้อยละ 30 โดยปริมาตร และ 4Y เชอร์โโคเนียร์ร้อยละ 15 โดยปริมาตร ตัวอย่าง C มีปริมาณไฮดรอกซีแอกป้าไทร์ร้อยละ 55 โดยปริมาตร อะลูมินาร์ร้อยละ 25 โดยปริมาตร และ 4Y เชอร์โโคเนียร์ร้อยละ 20 โดยปริมาตร ตัวอย่าง D มีปริมาณไฮดรอกซีแอกป้าไทร์ร้อยละ 55 โดยปริมาตร อะลูมินาร์ร้อยละ 25 โดยปริมาตร และ 4Y เชอร์โโคเนียร์ร้อยละ 20 โดยปริมาตร

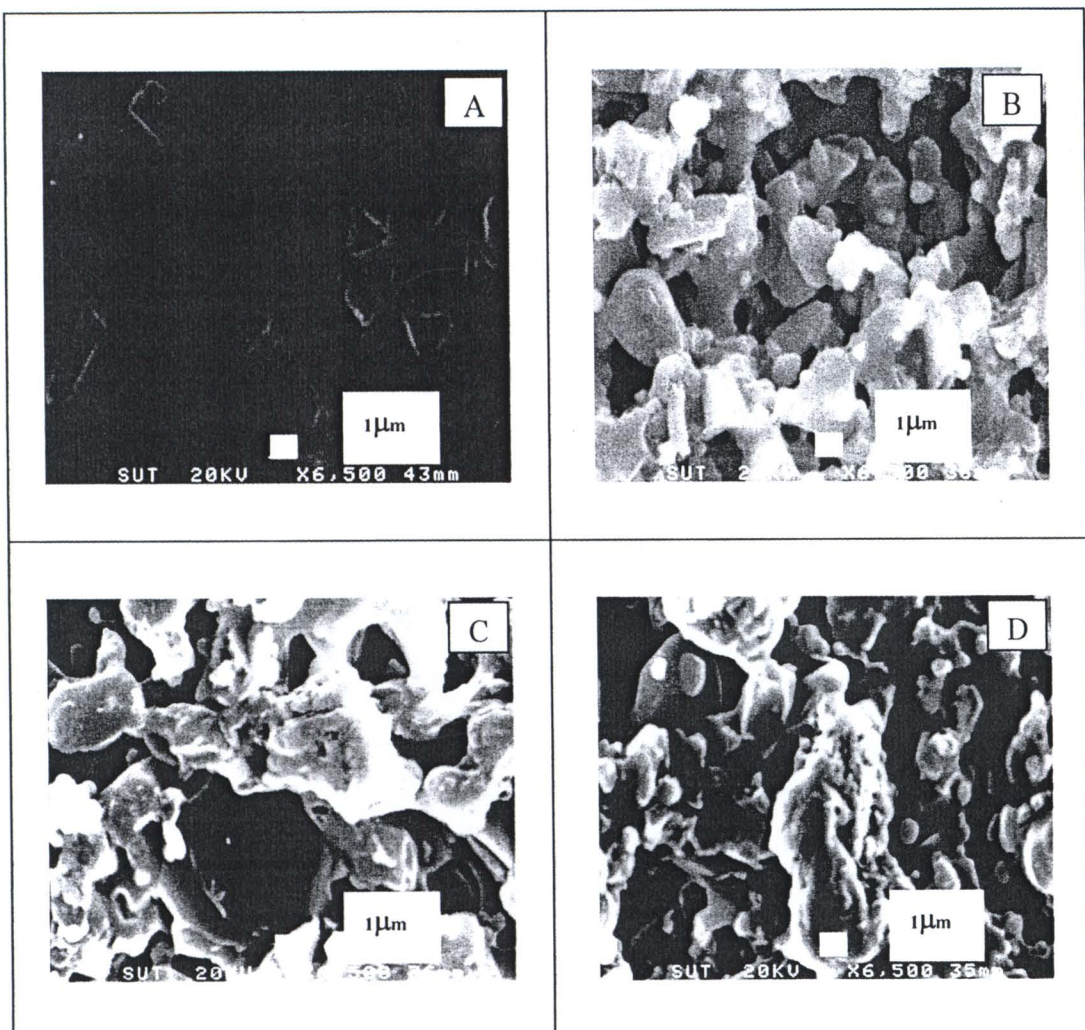


รูปที่ 4.20 โครงสร้างจุลภาคของแต่ละตัวอย่างที่ผ่านการเผาณีกที่อุณหภูมิ 1300°C

จากรูปที่ 4.20 A-D พบว่าตัวอย่างที่เป็นไฮดรอกซีแอลปาไท์ร้อยละ 100 โดยปริมาตร จะมีลักษณะพื้นผิวที่เชื่อมต่อกันเป็นแผ่น ซึ่งจะมีรูพรุนแบบปิด (Closed pores) เกิดขึ้น กระจายอยู่ ดังรูป 4.20A แต่เมื่อเดิน อะลูมินา และ 4Y เชอร์โโคเนียลงในไฮดรอกซีแอลปาไท์ พบว่า จะเกิดการข่องไฮดรอกซีแอลปาไท์ เชื่อมต่อกันโดยจะสังเกตเห็นเพียงเล็กน้อย ดังรูปที่ 4.20 B-D ซึ่งจะมีอนุภาคของอะลูมินา และ 4Y เชอร์โโคเนียเป็นเนื้อเดียวกัน โดยที่ไม่เกิดการเชื่อมติดกันเป็นเกรน และมีปริมาณรูพรุนที่เกิดขึ้นจำนวนมาก ซึ่งเป็นผลมาจากการชั่นงานไม่เกิดการสูญตัว

4.2.3.2 ผลของปริมาณสารเติมแต่งต่อโครงสร้างจุลภาคของวัสดุชีวภาพเชิงประกลบที่ผ่านการเผาณีกที่อุณหภูมิ 1400°C

ตัวอย่าง A มีปริมาณไฮดรอกซีแอลปาไท์ร้อยละ 100 โดยปริมาตร ตัวอย่าง B มีปริมาณไฮดรอกซีแอลปาไท์ร้อยละ 55 โดยปริมาตร อะลูมิナร้อยละ 30 โดยปริมาตร และ 4Y เชอร์โโคเนียร้อยละ 15 โดยปริมาตร ตัวอย่าง C มีปริมาณไฮดรอกซีแอลปาไท์ร้อยละ 55 โดยปริมาตร อะลูมินาร้อยละ 25 โดยปริมาตร และ 4Y เชอร์โโคเนียร้อยละ 20 โดยปริมาตร ตัวอย่าง D มีปริมาณไฮดรอกซีแอลปาไท์ร้อยละ 55 โดยปริมาตร อะลูมินาร้อยละ 25 โดยปริมาตร และ 4Y เชอร์โโคเนียร้อยละ 20 โดยปริมาตร

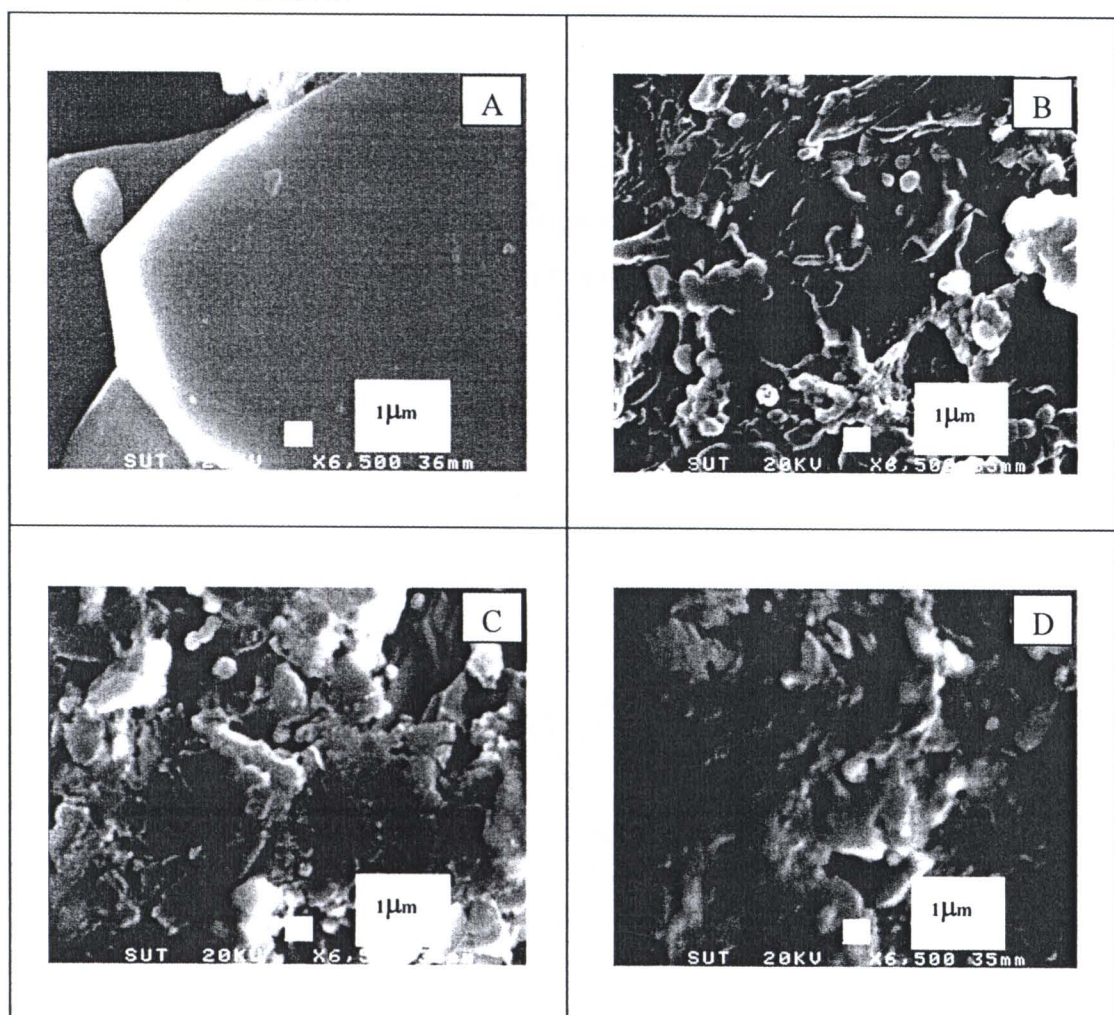


รูปที่ 4.21 โครงสร้างจุลภาคของแต่ละตัวอย่างที่ผ่านการเผาผนังก่อที่อุณหภูมิ 1400°C

จากรูปที่ 4.21 A-D พนว่าตัวอย่างที่เป็นไฮดรอกซีแอลปาไทต์ร้อยละ 100 โดยปริมาตร จะมีลักษณะพื้นผิวที่เข้มต่อกันเป็นแผ่นมากขึ้น ซึ่งจะมีรูพรุนลดลงเพียงเล็กน้อยดังรูป 4.21 A เมื่อเปรียบเทียบกับตัวอย่างที่ผ่านการเผาผนังก่อที่อุณหภูมิ 1300°C ดังรูป 4.20 A และเมื่อเดินอะลูมินา และ 4Y เซอร์โคเนียยังคงในไฮดรอกซีแอลปาไทต์ พนว่าจะเกิดการของไฮดรอกซีแอลปาไทต์ที่เข้มต่อกันโดยจะสังเกตเห็นเพียงเล็กน้อย ดังรูปที่ 4.20 B-D ซึ่งจะมีอุ่นภาชนะอะลูมินาและ 4Y เซอร์โคเนียยังคงอยู่เป็นเนื้อเดียวกัน โดยที่ไม่เกิดการเชื่อมติดกันเป็นเกรน และมีปริมาณรูพรุนที่เกิดขึ้นจำนวนมาก ซึ่งเป็นผลมาจากการชื้นงาน ไม่เกิดการสูญเสีย

4.2.3.3 ผลของปริมาณสารเติมแต่งต่อโครงสร้างจุลภาคของวัสดุชีวภาพเชิงประกลบที่ผ่านการเผาณีก์ที่อุณหภูมิ 1500°C

ตัวอย่าง A มีปริมาณไฮดรอกซีแอลปาไท์ร้อยละ 100 โดยปริมาตร ตัวอย่าง B มีปริมาณไฮดรอกซีแอลปาไท์ร้อยละ 55 โดยปริมาตร อะลูมินาร์้อยละ 30 โดยปริมาตร และ 4% เชอร์โโคเนียร์้อยละ 15 โดยปริมาตร ตัวอย่าง C มีปริมาณไฮดรอกซีแอลปาไท์ร้อยละ 55 โดยปริมาตร อะลูมินาร์้อยละ 25 โดยปริมาตร และ 4% เชอร์โโคเนียร์้อยละ 20 โดยปริมาตร ตัวอย่าง D มีปริมาณไฮดรอกซีแอลปาไท์ร้อยละ 55 โดยปริมาตร อะลูมินาร์้อยละ 25 โดยปริมาตร และ 4% เชอร์โโคเนียร์้อยละ 20 โดยปริมาตร

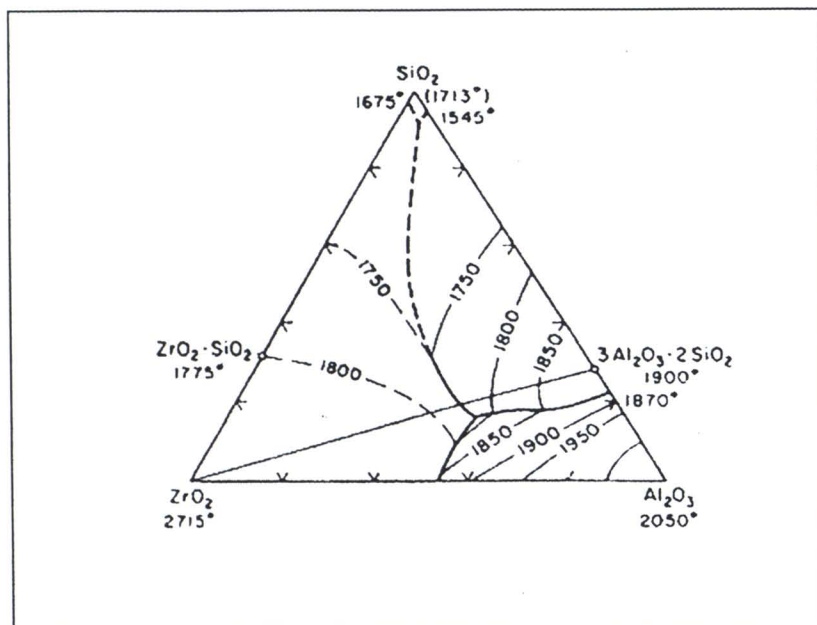


รูปที่ 4.22 โครงสร้างจุลภาคของแต่ละตัวอย่างที่ผ่านการเผาณีก์ที่อุณหภูมิ 1500°C

จากรูปที่ 4.22 A-D พบว่า ตัวอย่างที่เป็นไฮดรอกซีแอลปาไท์ร้อยละ 100 โดยปริมาตร จะมีลักษณะพื้นผิวที่เรียบงлад กับตัวอย่างที่มีส่วนผสมของอะลูมินาร์และเชอร์โโคเนียร์จะมีลักษณะที่ไม่เรียบงлад แสดงถึงการเกิดขีดข่วนในโครงสร้าง ซึ่งเป็นมาจากการที่ไฮดรอกซีแอลปาไท์สูญตัวมากเกินไป ทำให้เกิด Thermal stress ขึ้นภายใน

ชิ้นงาน เนื่องจากเกรนจะเกิดการขยายตัวอย่างมาก ทำให้เกิดการดันกันระหว่างเกรนมากขึ้น จึงส่งผลทำให้เกิดรอยร้าวขึ้นภายในชิ้นงาน ดังแสดงในรูปที่ 4.22 A แต่เมื่อเติม อะลูминินา และ 4Y เชอร์โโคเนียลงในไฮดรอกซีแอล派タイト พบร่วมกับเกรนของไฮดรอกซีแอล派タイト เชื่อมต่อกันโดยจะสังเกตเห็นเพียงเล็กน้อย ดังรูปที่ 4.22 B-D ซึ่งจะมีอนุภาคของอะลูминินาและเชอร์โโคเนียกระจายอยู่เป็นเนื้อเดียวกัน โดยที่เกิดการหลอมเชื่อมติดกันระหว่างมากขึ้น เมื่อเปรียบเทียบกับตัวอย่างที่ผ่านการเผาพิเศษที่อุณหภูมิ 1300°C และ 1400°C ดังรูป 4.20 B-D และ 4.21 B-D

จากรูปที่ 4.20-4.22 ตัวอย่าง B-D ซึ่งเติมอะลูминินา และ 4Y เชอร์โโคเนียลงในไฮดรอกซีแอล派タイト จะมีลักษณะที่เป็นอนุภาคของอะลูминินาและเชอร์โโคเนียกระจายอยู่เป็นเนื้อเดียวกัน โดยที่ไม่เกิดการเชื่อมต่อกันเป็นเกรน เนื่องจากห้องของอะลูминินาและเชอร์โโคเนียเป็นวัสดุที่มีจุดสูงตัวที่อุณหภูมิสูง ดังแสดงในแผนภูมิวัฏภารุปที่ 4.23 ซึ่งอะลูминามีจุดสูงตัวที่อุณหภูมิประมาณ 2050°C และเชอร์โโคเนียมีจุดสูงตัวที่อุณหภูมิประมาณ 2715°C (Cemail Aksel, 2003) ดังนั้น จึงทำให้ตัวอย่างมีความหนาแน่นต่ำ แต่ต่ำกว่าปกติตามเมื่ออุณหภูมิในการเผาพิเศษขึ้น จะพบว่าอนุภาคจะเกิดการเชื่อมติดกันมากขึ้น ซึ่งจะสอดคล้องกับ ค่าความหนาแน่นดังตารางที่ 4.4 และรูปที่ 4.11 ที่มีค่าเพิ่มขึ้น

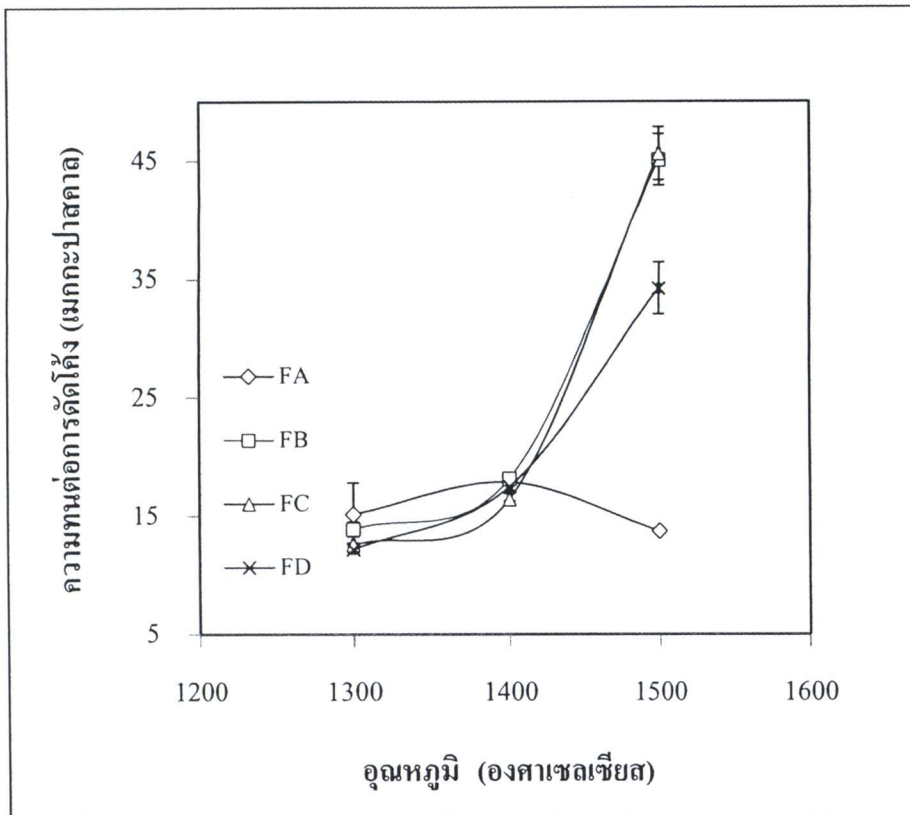


รูปที่ 4.23 แสดงแผนภูมิวัฏภารุของระบบอะลูминินา ซิลิกา และเชอร์โโคเนียม (Cemail Aksel, 2003)

4.2.4 ผลของปริมาณสารเติมแต่งต่อความหนาต่อการดัดโค้ง ความเหนียวและ ความแข็ง
ความสัมพันธ์ระหว่างปริมาณสารเติมแต่งต่อความหนาต่อการดัดโค้ง ความเหนียวและ
ความแข็งของตัวอย่างที่ได้จากการวิจัยแสดงไว้ในตารางที่ 4.5

ตารางที่ 4.5 แสดงค่าความหนาต่อการดัดโค้ง ความแข็งและความเหนียว ของวัสดุเชิงประกลบ
ของแต่ละตัวอย่าง ที่ผ่านการเผาผนังที่อุณหภูมิที่แตกต่างกัน เป็นเวลา 120 นาที

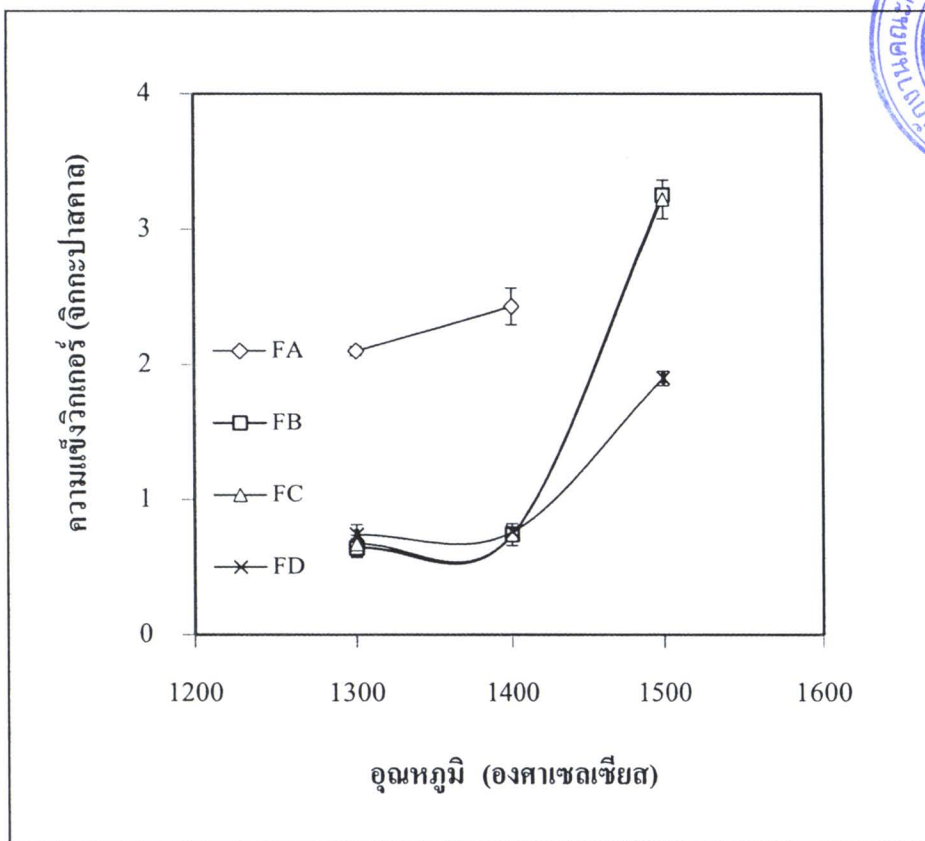
อุณหภูมิ (องศา เซลเซียส)	สูตร	ความหนาต่อการดัดโค้ง (เมกะปascala)	ความแข็งวิกเกอร์ (จิกกะปascala)	ความเหนียว (เมกกะปascala ^{0.5} เมตร ^{0.5})
1300	H	15.17±2.67	2.10±0.03	0.63±0.08
	H30A15Z	13.90±0.63	0.48±0.07	0.49±0.04
	H25A20Z	12.58±0.16	0.38±0.07	0.42±0.02
	H20A25Z	12.17±0.26	0.40±0.08	0.46±0.03
1400	H	17.88±0.16	2.43±0.14	0.54±0.04
	H30A15Z	18.17±0.27	0.53±0.05	0.57±0.02
	H25A20Z	16.45±0.49	0.42±0.08	0.52±0.05
	H20A25Z	17.50±1.19	0.61±0.04	0.55±0.03
1500	H	13.73±0.10	-	-
	H30A15Z	45.10±2.27	3.73±0.05	0.91±0.04
	H25A20Z	45.60±2.24	3.67±0.14	1.01±0.03
	H20A25Z	34.23±2.18	1.80±0.05	1.04±0.06



รูปที่ 4.24 แสดงค่าความหนาต่อการดัดโถงของวัสดุเชิงประกลบที่ผ่านการเผาเผนกที่อุณหภูมิต่าง ๆ

จากตารางที่ 4.5 และรูปที่ 4.24 เมื่อเติมอะลูมินาและ 4Y เซอร์โคเนียมลงในไฮดรอกซิแอลูมิโนไทต์ เมื่อทำการเผาเผนกที่อุณหภูมิต่ำ (1300 และ 1400°C) พบว่ามีผลต่อความหนาต่อการดัดโถงของวัสดุเชิงประกลบที่เปลี่ยนแปลงน้อยมาก เนื่องมาจากที่อุณหภูมิดังกล่าวทำให้วัสดุเชิงประกลบไม่เกิดการสุกตัว จึงทำให้การเผาเผนกที่อุณหภูมิต่ำนี้ไม่มีผลต่อการเปลี่ยนแปลงของความหนาต่อการดัดโถง แต่เมื่อทำการเผาเผนกที่อุณหภูมิสูงขึ้น (1500°C) จะทำให้ความหนาต่อการดัดโถงของวัสดุเชิงประกลบมีค่าสูงขึ้น เนื่องจากการเผาเผนกที่อุณหภูมิสูงขึ้นจะทำให้วัสดุเชิงประกลบเกิดการสุกตัวมากขึ้นเป็นผลให้ความหนาแน่นสูงขึ้นด้วย ดังเหตุผลที่อธิบายไว้ในหัวข้อ 4.2.1 ส่วนการเติมอะลูมินาในปริมาณที่ลดลง ในขณะที่ปริมาณ 4Y เซอร์โคเนียมเพิ่มขึ้นจะทำให้ความหนาต่อการดัดโถงลดลง เนื่องมาจากการเผาเผนกที่อุณหภูมิสูงขึ้น ดังนั้นการเติมปริมาณเซอร์โคเนียมซึ่งเป็นวัสดุที่มีจุดตัวที่อุณหภูมิสูง (ประมาณ 2715°C) (Cemal Aksel, 2003) เพิ่มมากขึ้น จึงทำให้ความหนาแน่นลดลงดังเหตุผลที่อธิบายไว้ในหัวข้อ 4.2.1 โดยที่การเติมอะลูมินาปริมาณร้อยละ $30+4\text{Y}$ เซอร์โคเนียมร้อยละ 15 โดยปริมาตร และอะลูมินาปริมาณร้อยละ $25+4\text{Y}$ เซอร์โคเนียมร้อยละ 15 โดยปริมาตร

ร้อยละ 20 โดยปริมาตร ผ่านการเผาผนึกที่อุณหภูมิ 1500°C มีค่าความหนืดต่อการดัดโค้งสูงที่สุดคือประมาณ 45 MPa ซึ่งมากกว่าไอดรอกซีแอปเปิลไฮต์ในปริมาณร้อยละ 100 โดยปริมาตร (ประมาณ 13-17 MPa)

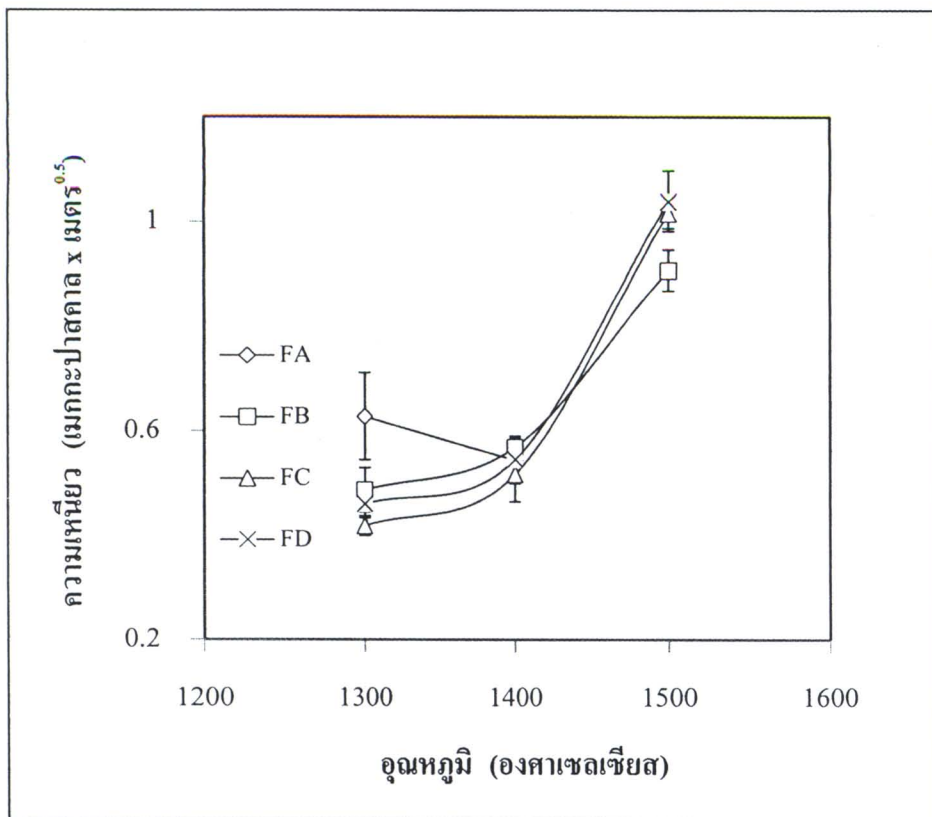


รูปที่ 4.25 แสดงค่าความแข็งของวัสดุเชิงประกลบที่ผ่านการเผาผนึกที่อุณหภูมิต่าง ๆ

ส่วนการศึกษาค่าความแข็งของวัสดุเชิงประกลบจากตารางที่ 4.5 และรูปที่ 4.25 อะลูминินาที่เดินเข้าไปประจำชั้นไทริดรอกซีแอปเปิลไฮต์มีความแข็งเพิ่มขึ้น เนื่องจากอะลูминินาเป็นวัสดุที่มีความแข็งสูง ในขณะที่การเดิน 4Y เชอร์โโคเนียในปริมาณร้อยละ 15 20 และ 25 โดยปริมาตร เข้าไปนั้นจะส่งผลให้ค่าความแข็งของวัสดุลดลงตามปริมาณของ 4Y เชอร์โโคเนียที่เพิ่มขึ้น ซึ่งเป็นไปตามกฎ Rule of Mixture ของ (Y.Takano et al., 1998) ที่ได้อธิบายไว้ว่าวัสดุจะมีความแข็งที่ดีได้นั้นจะขึ้นอยู่กับสารเติมแต่งที่ใช้ หากสารเติมแต่งที่ใช้มีปริมาณของวัสดุที่มีความแข็งที่สูงในปริมาณมาก ก็จะส่งผลให้วัสดุที่ได้นั้นมีค่าความแข็งที่สูงขึ้น โดยค่าความแข็งของอะลูминินามีค่าประมาณ 20 GPa ส่วนเชอร์โโคเนียมีค่าประมาณ 9.4 GPa

ตารางที่ 4.25
ค่าความแข็ง (%) ของวัสดุที่ได้จากการเผาผนึก

25% ความแข็ง (%) ของวัสดุที่ได้จากการเผาผนึก



รูปที่ 4.26 แสดงค่าความหนาแน่นของวัสดุเชิงประกลบที่ผ่านการเผาเผนิกที่อุณหภูมิต่าง ๆ

จากตารางที่ 4.5 และรูปที่ 4.26 พบร่วมกันว่า การเผาเผนิกวัสดุเชิงประกลบที่อุณหภูมิต่ำ (1300°C และ 1400°C) โดยการเติม 4Y เซอร์โคเนียมในปริมาณแตกต่างกัน มีผลต่อการเปลี่ยนความหนาแน่นของวัสดุเชิงประกลบเพียงเล็กน้อย เมื่อทำการเผาเผนิกที่อุณหภูมิสูงขึ้น (1500°C) แต่การเติม 4Y เซอร์โคเนียมมีผลทำให้ความหนาแน่นของวัสดุเชิงประกลบมีค่าสูงขึ้น โดยที่เติม 4Y เซอร์โคเนียมในปริมาณร้อยละ 15-20 และ 25 โดยปริมาตรเข้าไป พบว่าค่าความหนาแน่นของไฮดรอกซิโอปait-อะลูมินาจะเพิ่มสูงขึ้นตามปริมาณของ 4Y เซอร์โคเนียมที่เพิ่มขึ้น เนื่องมาจากการเติม 4Y เซอร์โคเนียมในวัสดุจะส่งผลให้เกิดวัฏภาพของ t-ZrO_2 ขึ้นภายในวัสดุ ซึ่งสอดคล้องกับคำอธิบายตามรูปที่ 4.15-4.18 (ในหัวข้อที่ 4.2.2) ซึ่งการมีปริมาณวัฏภาพ t-ZrO_2 มากขึ้นนี้ชี้ว่างานจะมีความหนาแน่นเพิ่มขึ้น (R.W. Cahn et al., 1993) เนื่องจากการเกิดความหนาแน่นจะเกิดจากเปลี่ยนวัฏภาพเมื่อมีรอยร้าวเริ่มต้นเกิดขึ้นภายในชิ้นงาน และมีความเค้นขึ้นรอบ ๆ รอยร้าว ซึ่งความเค้นนี้จะทำให้เซอร์โคเนียมเปลี่ยนวัฏภาพจาก t-ZrO_2 เป็น m-ZrO_2 และเกิดการเปลี่ยนแปลงปริมาตรขยายตัวขึ้นอย่างมาก ส่งผลให้เกิดความเค้นกดอัดบริเวณปลายของรอยร้าว ทำให้รอยร้าวไม่สามารถถ่วงตัวได้ทำให้วัสดุมีความหนาแน่นขึ้น

เป็นสาเหตุทำให้วัสดุที่เติม 4Yเซอร์โคเนียมมีค่าความหนึบว่าที่สูงขึ้น และเมื่ออุณหภูมิในการเผาผนังสูงขึ้นค่าความหนึบของวัสดุจะมีแนวโน้มสูงขึ้น โดยที่การเติมอะลูминานาริมานร้อยละ 20+4Y เซอร์โคเนียมร้อยละ 25 โดยปริมาตร ผ่านการเผาผนังที่อุณหภูมิ 1500°C มีค่าความหนึบสูงที่สุดคือเท่ากับ $1.04 \pm 0.06 \text{ MPa.m}^{0.5}$